

木材曲げ強さに及ぼす 荷重速度の影響に就て

所員 井 口 常 雄
嘱託 南 義 夫

1 緒 言

材料試験に於て、變形速度が試験結果に及ぼす影響の問題は種々論議せらるゝ所である。各種金属材料に就きては既に試験が行はれてゐるが、普通用ひらるゝ速度の範圍ではその影響は餘り著しくない。然るに木材に於てはこの影響は可成り著しいものと認められる。この影響に就きて、今迄二、三の試験が行はれてゐるが、これ等は多くは普通の試験方法で得た試験結果と、一定荷重を加へて破壊する迄放置した場合の強さとを比較したものである。即ち、J. B. Johnson は longleaf-pine に就きて壓縮試験を行ひ（試験片寸法 $1\frac{5}{8}'' \times 1\frac{5}{8}'' \times 3''$ ），「木材の耐え得る永久荷重は普通の試験機で試験して得た強さの約半と考へても安全ではない」と結論してゐる。Barling and Pritchard は spruce に就きて曲げ試験を行ひ、破壊迄に要する時間として 10 分を基準とし、この基準に於ける強さの幾%かに相當する荷重を加へて放置し、破壊に至る迄の時間を記録してその結果から時間の影響を論じてゐる。R. H. Thurston も yellow pine を材料として略々それと同様の方法で曲げ試験を行つてゐるが、彼は普通試験の破壊荷重の 60 % に相當する荷重を木材梁に加へて長時間放置する時は梁は遂に破壊するに至るであらうと述べてゐる。又 H. D. Tiemann は longleaf-pine, red spruce 及び chestnut の三種類に就きて可成り廣汎な試験を行ひ、理論的にも種々考察してゐる。彼は“Speed-Strength Modulus”なるものを考へ、この値の最小になる附近の變形速度を試験速度として使用すべきことを示し、且如何なる場合に於ても 50 % の速度の變化に對して強さの變化は 2 % を出でないと稱してゐる。

Tiemann の試験に就きては後に詳述することとする。

以上の木材に關する試験の中、Tiemann の試験の外は、破壊する迄次第に荷重を増加してゆくのではなく一定荷重を加へて放置しその強さを調べたものである。

(1) Bauschinger, Einfluß der Zeit bei Zerreißversuchen, Mitt. a. d. Mech. Tech. Lab., München, Heft 20, 1891.

G. H. Robert, Engg., Aug. 8, 1913, p. 210.

B. T. T. Bottomley, Proc. Roy. Soc., London, Vol. 29, 1879, p. 221.

Proc. of A.S.T.M., Vol. 6, 1906, p. 106.

H. Quinney, Engineer, London, Vol. 157, 1934.

H. Deutler, Physik. Zeitschr., Heft 33, 1932, S. 247.

(2) J. B. Johnson, Materials of Construction, 7th edition, 1930, p. 206.

(3) Tech. Rep. of Adv. Comm. for Aeronaut., 1917-18, p. 974.

(4) Proc. Inst. C. E., Vol. 71, p. 428.

(5) Proc. of A.S.T.M., 1908, Vol. 8, p. 541.

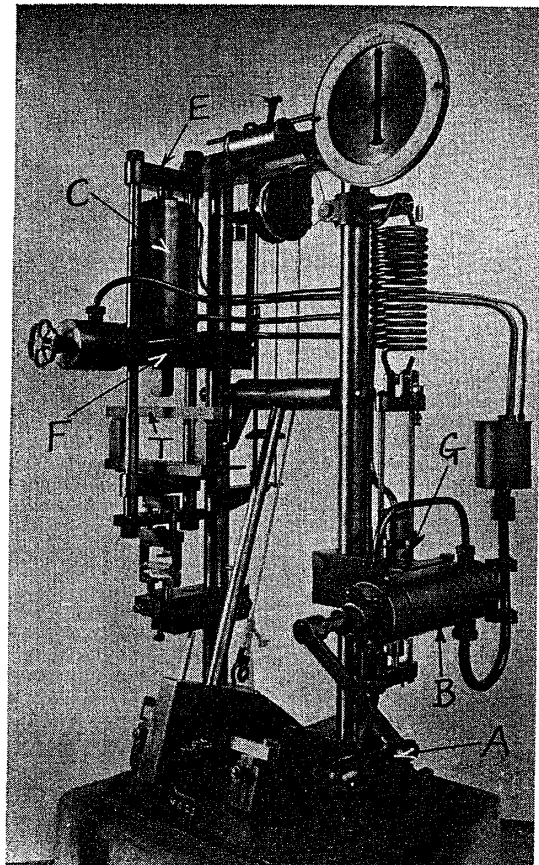
以下述べんとする実験は、飛行機用に供せらるゝ木材數種に就き Amsler 4 種木材萬能試験機を使用し荷重速度を種々變化して曲げ試験を行ひ、以て本試験機を使用する場合には如何なる速度で試験する時に速度の影響が最も少いかを調べたものである。試験方法は、Tiemann の場合の如く破壊に至る迄徐々に荷重を増加し、破壊する迄の時間及びその時の荷重を測定した。

又、木材試験に於ては木材の含水量、密度、その他幾多の因子が強さその他に影響を及ぼすから含水量、密度等の範圍が廣い時は、それ等に對する適當なる補正を施さなければ結果に現れるものは果して時間の影響か、將又、他の因子の影響か判らぬ。然し、後述の如く本実験に於ける供試材は自然乾燥材にして、従つて一樹種に於ける含水量及び密度の範圍は比較的狭い爲、これ等に對する補正の必要なきものと認め結果を考察するに當りこの補正を省略することとした。

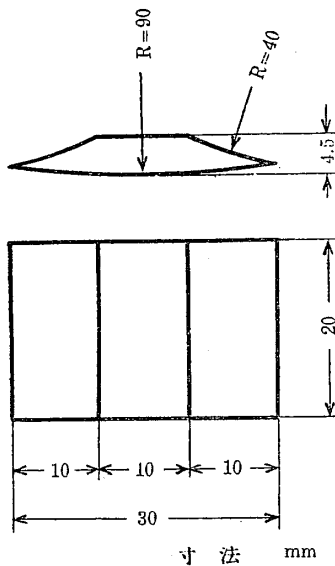
2. 試験方法及び試験材

使用試験機は前述の通り Amsler 4 種木材萬能試験機であつて第 1 圖にこれを示す。今、曲げ試験に必要な部分だけを簡単に説明すれば次の如くである。この機械は手働ねぢポンプによつて荷重を加へるもので、圖の右方にある柄 A を廻すとシリンダ B 中の油が細管によつて左方上部にある第二のシリンダ C 中に送られる。このシリンダ内のラムの上に E なる枠が支へられ、油が送られるにつれてこれが上昇する。枠の下部の横棒の上に曲げ試験片に對する支點が載つてゐる。曲げ試験に對する中央の荷重點はシリンダ C を支へる臺 F の下部に固定せられる。圖の如く試験片 T を裝備しポンプの柄を廻す時は枠 E の上昇により曲げ試験を行ふことが出来る。荷重を測る爲に更に第三のシリンダ G (manometer cylinder) があり、細管によつてシリンダ C と連結し、C 内の油壓の増減によつて G 内のラムは動き、これに連結する蔓卷ばねに變形を與へる。従つて蔓卷ばねより絲を経て荷重指示盤の指針が動く。

この試験機の標準試験片寸法は 2cm × 2cm × 30 cm でスパンは 24 cm である。この試験機に於ては荷重點及び支點は鋼製であつて半徑 1.5 cm の圓筒面をなす。その爲に最大荷重に對し荷重點に於て試験片に 1.0~1.5 mm の喰込みを生じ、従つて試験片の強さを低下する。依つて本実験に於ては第 2 圖の如き赤樫



第 1 圖



第 2 圖

材の座板を荷重點に當てた。斯くすることによつて荷重點の喰込みの深さを 0.5 mm 以下にすることが出来る。

本實驗に供した試験材の種類は、飛行機翼、胴體及びプロペラ等を使用せらるゝヒノキ、スプルス、クルミ、マホガニ及びアツシユの五種類であつて、總て常溫自然乾燥したものである。以上五種何れも木理を試験片の長さの方向に取り、荷重方向は斷面に於て年輪に對し平行、直角及び約 45° の方向とした。而して荷重方向が年輪に對し直角及び約 45° の場合には荷重は何れも年輪の外側より中心に向つて加へるものとする。

荷重速度を種々變化し、荷重を加へ始めてから破壊に至る迄の時間が大體次の八群の時間となる様にした。

3~4 秒	10~15秒	30~40秒
60~80秒	約 120 秒	約 180 秒
約 300 秒	約 420 秒	

手働ねぢポンプの柄の廻轉是一群の實驗時間に對し出来るだけ一樣ならしめた。

試験片の數是一群の時間に對し各荷重方向毎に 8 本乃至 10 本とし、これ等は試験材の同一箇所から取らずに各所から選んで一組とし、試験片採取箇所に基く影響を出来るだけ少くする様に力めた。

3. 含水量及び密度

試験當時に於ける試験片の含水量を知る爲、各試験片につき曲げ試験直後その重量を計り、然る後これを乾燥炉に入れて乾燥した、含水量は次式によつて計算した。

$$\text{含水量(\%)} = \frac{w - w_0}{w_0} \times 100$$

w : 乾燥前の重量, gr w_0 : 乾燥後の重量, gr.

又本實驗に於ては密度としては便宜上次のものを使用した。

$$\text{密度} = \frac{w_0}{V} \text{ gr/cm}^3$$

w_0 : 乾燥後の重量, gr V : 試験時の容積, cm^3 .

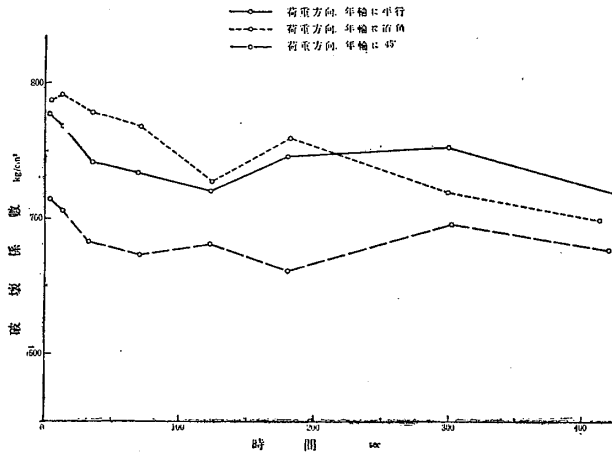
各試験片の含水量及び密度を第 1 表乃至第 5 表に示す。而してこの結果から見て、各樹種に於ける含水量並に密度の範圍は比較的小なる爲、これ等に對する強さの補正を省略したことは前述の通りである。

4. 試験結果

破壊に要した各時間に對する試験結果は第 1 表乃至第 5 表に掲げた通りである。各樹種の各荷重方向毎に平均破壊係數を平均時間に對して圖示したものが第 3 圖乃至第 7 圖である。

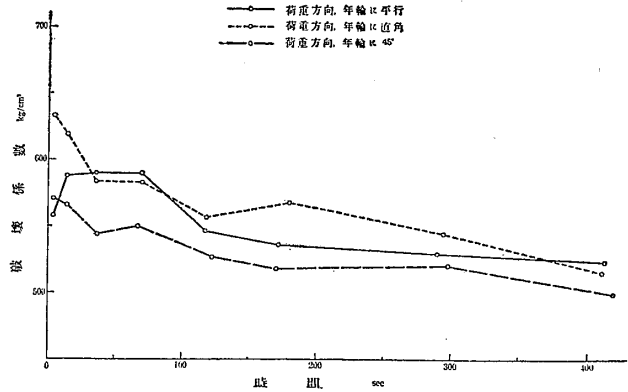
又、或る時間に於ける破壊係數 f をその時間 t にて除したもので、即ち f/t を考ふればこれは平均荷重速度と見做すことが出来る。これを v にて表はす。 v の値もこれを第 1 表乃

ヒノキ



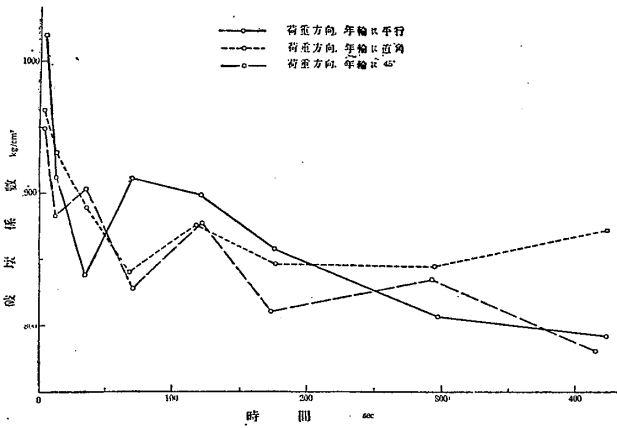
第 3 圖

スプルース



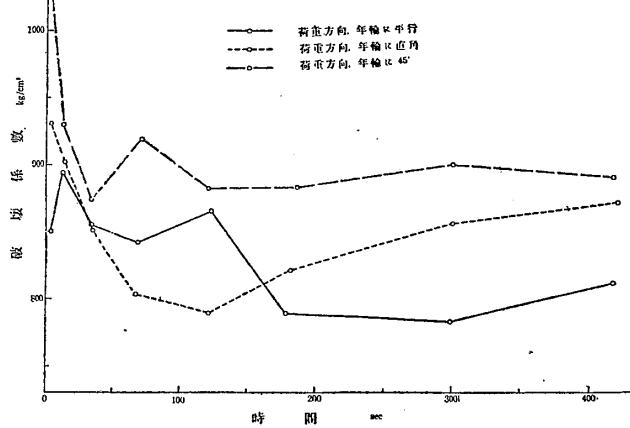
第 4 圖

クルミ



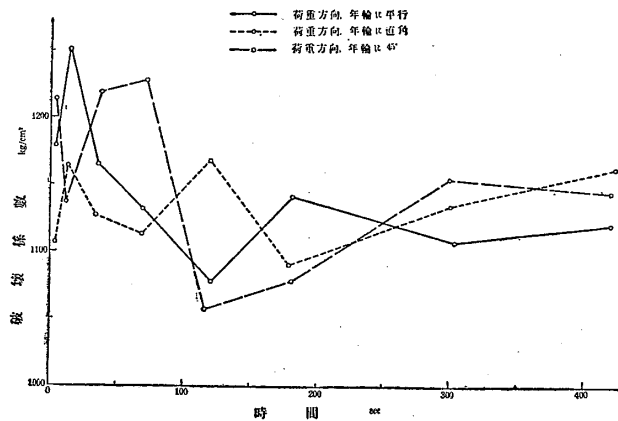
第 5 圖

マホガニ



第 6 圖

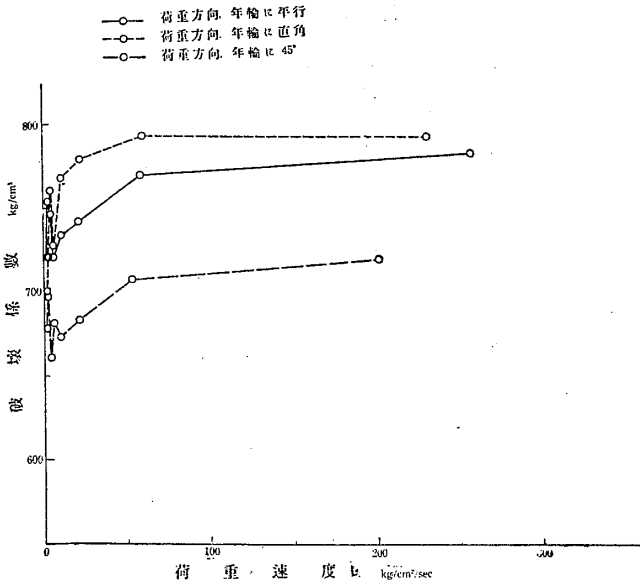
アッシュ



第 7 圖

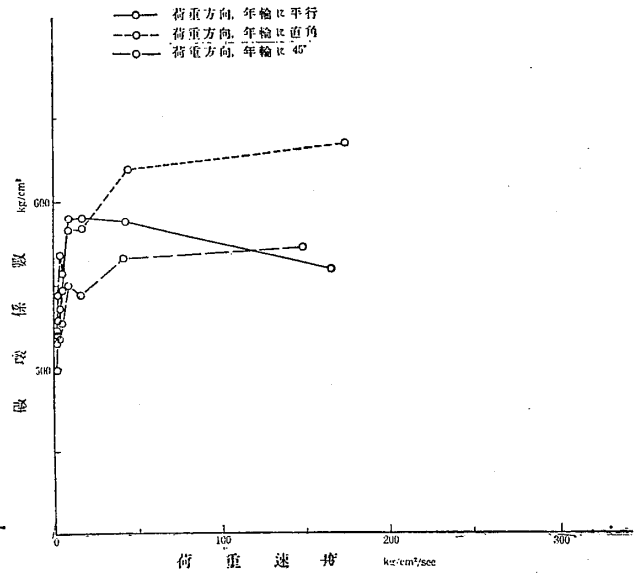
至第5表に掲げ、この平均と平均破壊係数との関係を第8圖乃至第12圖に示した。

ヒノキ



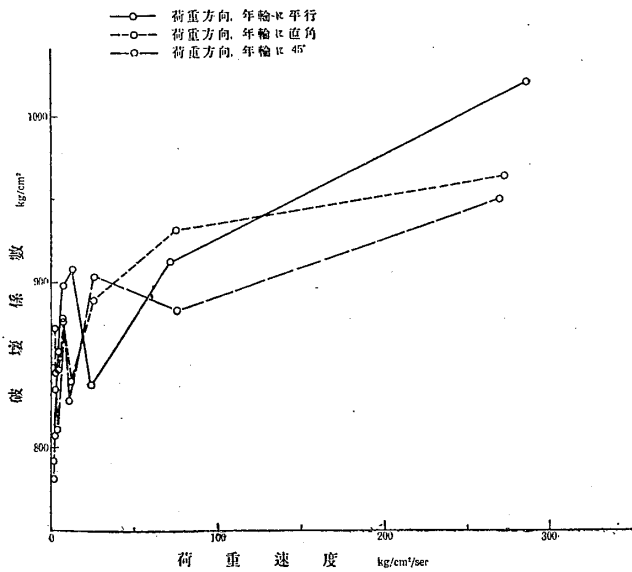
第 8 圖

スプルース



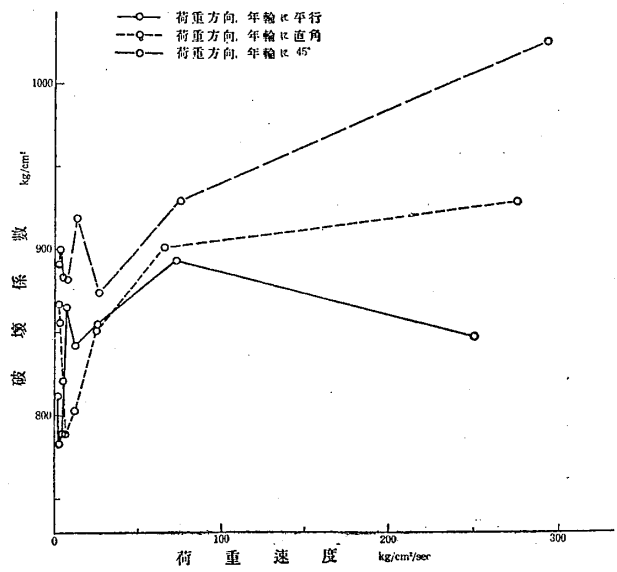
第 9 圖

ケルミ



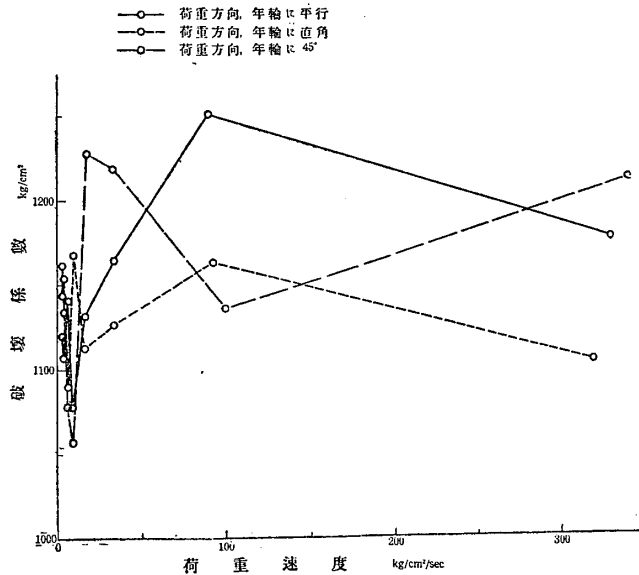
第 10 圖

マホガニ



第 11 圖

アッシュ



第 12 圖

5. Tiemann の実験解析

Tiemann は三種の木材に就きて壓縮、曲げの兩試験を行ひ、その結果を圖示するに(A)強さ——歪速度、(B)強さ——試験機のクロスヘッドが1吋移動するに要する時間、を以てし、これを考察して(A)圖と(B)圖とは矛盾すること、即ち(A)によれば歪の速度が大になる程強さは一定の値に近づく傾向を示すに反して、(B)によれば丁度これと逆にクロスヘッドの速さの遅くなる程、即ち歪の速度の小になる程強さは次第に

一定の値に近づく傾向を示すことを指摘してゐる。而して、何故この様な結果になるかと言ふに「歪速度の與へられたる變化に對して強さの變化が最も少い爲には如何なる速度で材料試験を行はねばならぬか？」といふこの實驗の目的としての最初の要求に無理がある爲であるとなし、「速度の與へられたる變化」なるものは「1分間に何時」又は「1吋に對し何分」といふ様に表はされるが、これ等は單位の選び方によつて變るものである。若しこれをその速度の何%とすれば單位に無關係な量となる。實際、實驗に際して考へるべきものは速度の變化そのものでなく速度變化の速度に對する割合であり、同様に強さに於ても強さ變化の強さに對する割合である。この兩者の比を用ひて結果を比較することにより單位によつて束縛を受けない關係を得ることが出來ると論じてゐる。

Tiemann は L を強さ、 V を速度とし

$$T = \frac{dL/L}{dV/V}$$

によつて上述の關係を表はしてゐる。この T を“Speed-Strength Modulus”と名づけ、これによれば(A)、(B)の何れの曲線からも同じ T の値を得るから矛盾は無くなる。而して L 及び V の對數を縦、横兩軸にとつて圖示する時、その曲線の傾きが丁度 T を表はすこととなる。曲線の傾きの大なる程 T は大きく、従つて速度の變化の割合に對して對應する強さの變化の割合は大となる。曲線の傾きが $\log V$ 軸に對して零の所では速度の變化の割合に對して對應する強さの變化の割合は零となる。又、或る速度範圍内に於ける“Speed-Strength Modulus”がわかつてゐるならば、この範圍内に於ては異なる速度で實驗した時結果を比較するのに便利であると述べてゐる。

而して、荷重速度を選択するに當り、一般に、變形速度の變化に基く強さの變化といふことよりも他の種々の條件、例へば實驗操作の難易、測定の精密度等が重大視せられ、これ等と時間的經濟の見地から荷重速度が決定せられる。然し乍ら、試験はこれ等の許す範囲内に於て成るべく遅い速度で行ふ方が良い。結局、標準歪速度として次のものが適當であると結論してゐる。

曲げ試験	0.0015 in/min/in
壓縮試験	0.0015 " "
剪斷試験	0.010 " "

尙、 $\log L - \log V$ の曲線に就きてみるに、 $\frac{dV}{V}$ 即ち速度變化が 50% である時に、對應する $\frac{dL}{L}$ 即ち強さ變化は 2% 位に過ぎないから、 $\frac{dV}{V}$ が 50% 以内の場合には補正を施さなくとも良いと述べてゐる。

以上が Tiemann の實驗解析の骨子である。

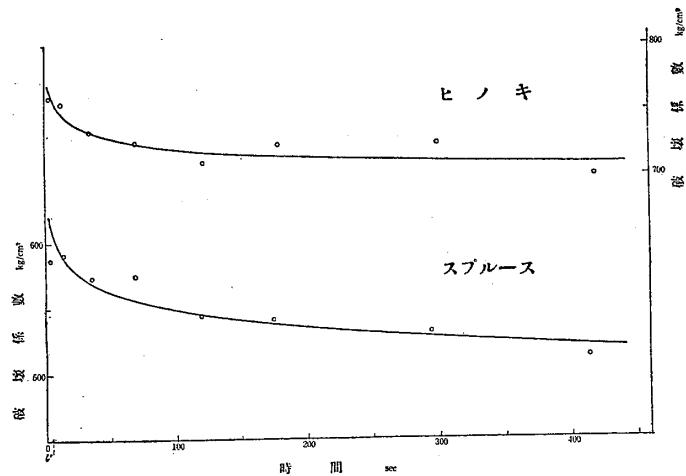
6. 試験結果の考察

Tiemann はその解析に於て $\log L - \log V$ の曲線の傾きから結果を論じ、曲線の傾きの等しい所即ち直線部分に於ては如何なる速度を用ひても速度の影響は等しいと述べてゐる。然し試験機使用に際して dV/V は速度 V の如何に拘らず一定なりと考へることは出来ぬ。依つて $T = \frac{dL/L}{dV/V}$ が一定であつても、 dV/V が變化するから $\frac{dL}{L}$ は一定とはならぬ。又、この曲線の傾きの小なる所は速度の影響の小なる所と稱してゐるが、同様の理由に依つて傾きの小なる所が必ずしも dL/L の小なる所とはならぬ。依つて定められた速度にて實驗しようとした時に、實際は如何なる速度で實驗してゐるかその誤差の範囲を見ることが必要である。

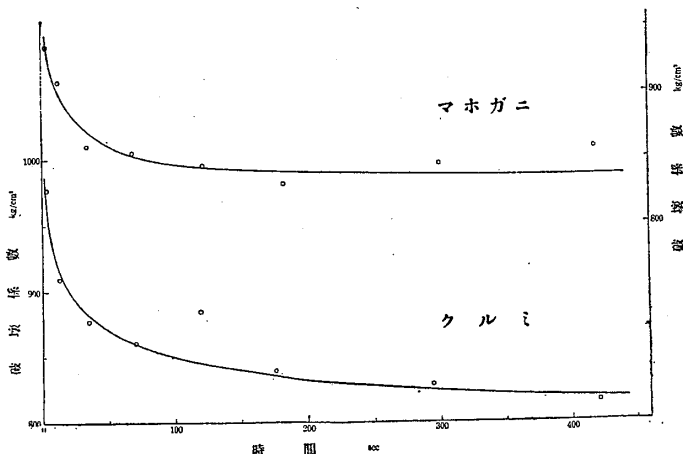
然し乍ら著者等の實驗に使用せる試験機に於ては、後に述べる理由から荷重點の速度を或る定つた速度に調節することが困難である。依つて手働ねぢポンプの柄の廻轉を或る一定速度にした時に何れ位の時間で試験片が破壊に達するかを測つた。而してこの場合、試験片の強さのむら、實際の廻轉速度の不同等の爲に破壊時間に不同のあることは勿論である。依つてこの時間の開きと強さの開きの關係を調べた。

第 3 圖乃至第 7 圖は各樹種の各荷重方向毎に平均の破壊係數と破壊迄の平均時間との關係を圖示したものである。又三種の荷重方向の平均の破壊係數を時間に對して圖示し滑らかな曲線を書けば第 13 圖乃至第 15 圖となる。更にこれを $f/t (=v)$ を横軸にとつて表はせば第 16 圖乃至第 18 圖の如くである。(第 6 表は各樹種毎に各荷重方向の破壊係數、破壊時間及び平均荷重速度の平均値を示す)。この二つの場合、即ち破壊係數を時間に對して圖示したものと速度に對して圖示したものに於ては、Tiemann の場合の如く矛盾を生ずる。然し

乍ら、今、縦軸に破壊係数を、横軸に $\log t$ 若くは $\log v$ をとつて圖示すれば第 19 圖乃至第 24 圖となり、 $f-\log t$ 圖に於ては t の小なる間は $f-\log t$ 曲線は或る傾きを有する直線で表はされるが、 t が大きくなると次第にこの直線から離れ横軸に對し曲線の傾きは次第に小さくなる。即ち f の値が次第に一定値に近づくことを示す。又、 $f-\log v$ 圖に於ては v の大なる時、換言すれば t の小なる時 f と $\log v$ とは直線的關係を示し、 v が小なる時、換言す



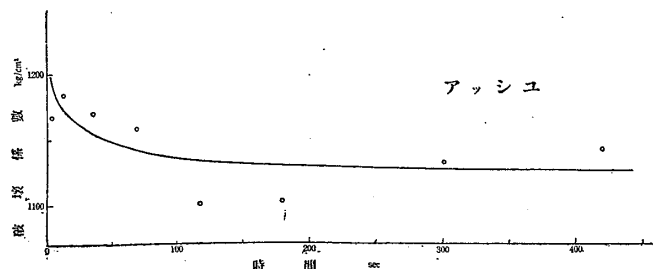
第 13 圖



第 14 圖

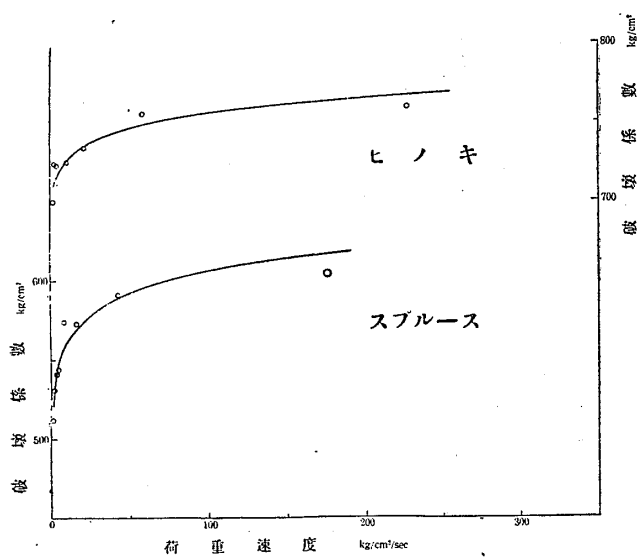
ば t が大なる時 f は次第に一定値に近づく傾向を示し、 $f-\log t$ 、 $f-\log v$ の兩圖の結果は一致する。斯くの如く $f-\log t$ 、 $f-\log v$ の二圖は互に矛盾を生じないから、これ等の圖から實驗結果に就きて論議すれば良い様に見える。然し乍らこれ等の圖のみに就きて考察したのでは不十分の點あることは「Tiemann の實驗解析」の項で述べた $T = \frac{dL/L}{dV/V}$ のみに依つて論議することが不

適當なることと同様である。今、 $f-\log t$ 圖及び $f-\log v$ 圖だけで判斷すれば曲線上の任意の點に於ける切線の傾きは $\frac{df}{d \log t} = \frac{df}{dt} \cdot t$ 及び $\frac{df}{d \log v} = \frac{df}{dv} \cdot \frac{dv}{v}$ である。若し t 又は v の如何に拘らず dt/t 又は dv/v が一定ならば、 df の小なる所程、即ち曲線の傾きの小なる所程時間又は速度の變化による強さの變化は少いわけである。然し dt/t 若くは dv/v は時間又は速度に依つて異なるものであつて一定ではない。依つて $f-\log t$ 又は $f-\log v$ 圖だけから實驗結果を判斷するのは不適當なのである。

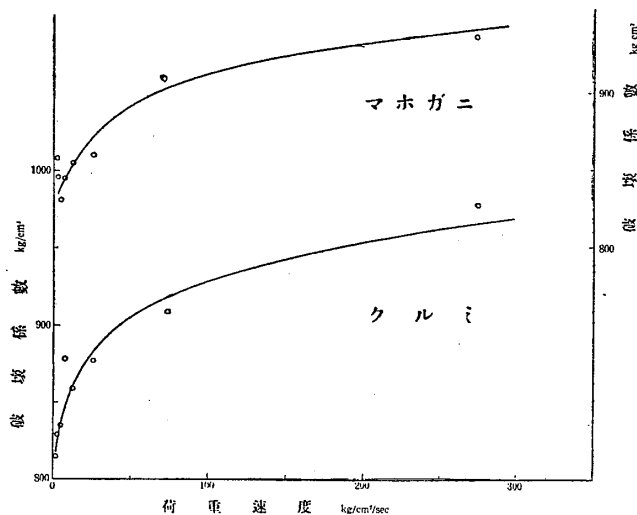


第 15 圖

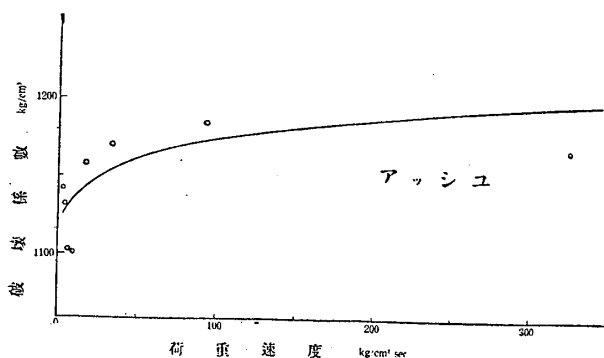
變形速度とは荷重點の支點に對する動きであるが本實驗に於てはこれは測定しなかつた。



第 16 圖



第 17 圖



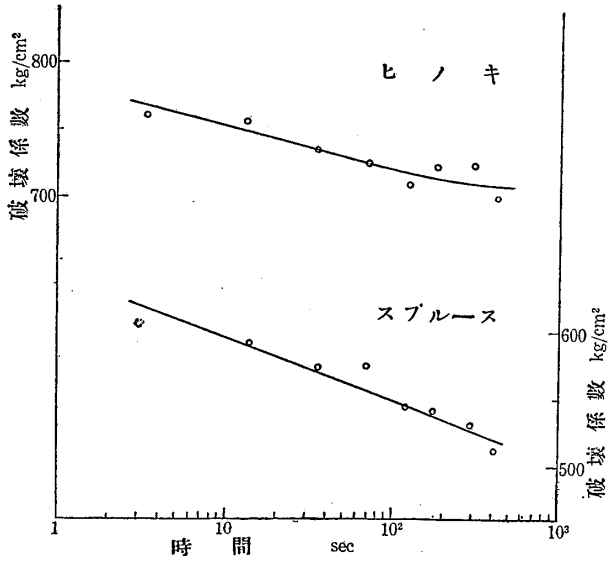
第 18 圖

測定したのは破壊迄の時間であつて、一定時間で破壊せしむるを目的とし手働ポンプの柄を廻す速さを加減した。然し、一組に就きて言へばポンプの廻し加減に差程遅速は無かつた。依つて一組の實驗に於てはポンプの柄の廻轉速度は一定であつたものと假定する。

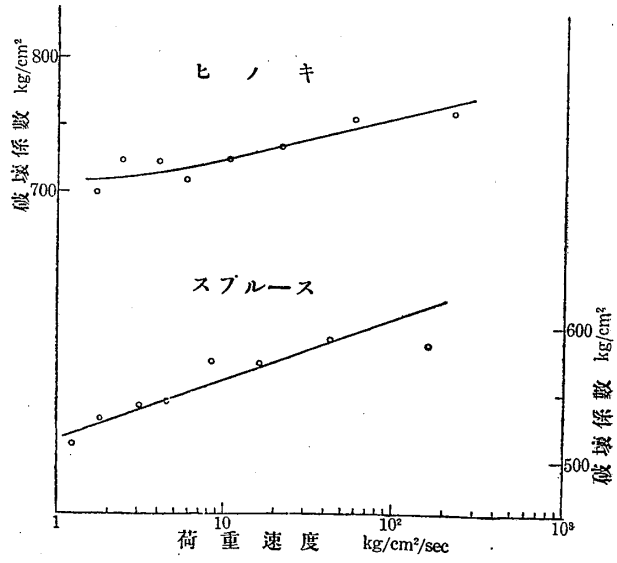
ポンプの柄の廻轉を或る定つた速度としても變形速度は必ずしも一定では無く、場合に應じて種々異つた速度となる。ポンプの柄の廻轉速度が一定である時には手働ポンプから出る油の量は略々一定ではあるが、油壓に依つてシリンダの漏油が變り、又ポンプから出る油は變形用シリンダ及び荷重測定用シリンダの兩方へ分れて送られる爲、試験片の撓に對する抵抗の大なるか小なるかに應じて變形用シリンダに送られる油の量は少くなるか又は多くなる。これ等の爲變形用シリンダのラムの移動は種々に變る。即ちポンプの柄の廻轉速度を定めても變形速度は種々異つた速度となる。

然し乍ら、同一種類の木材を試験してゐる間は試験片の撓状態は略々一定であるから、ポンプの柄の廻轉速度が一定ならば變形速度は殆ど一定であると考え差支ない。従つて、一組に於ける時間の開きは同一變形速度に對する時間の開きと見做すことが出来る。

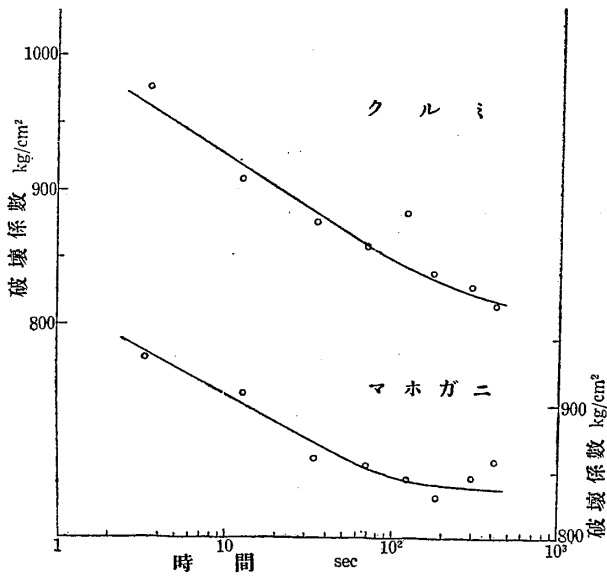
同一變形速度に對し時間の開きを生ずる原因は種々あるだらうが、結局は木材性質のむらに依ることである。或る變形速度に對する時間の開きは、その變形速度に於ける時間の



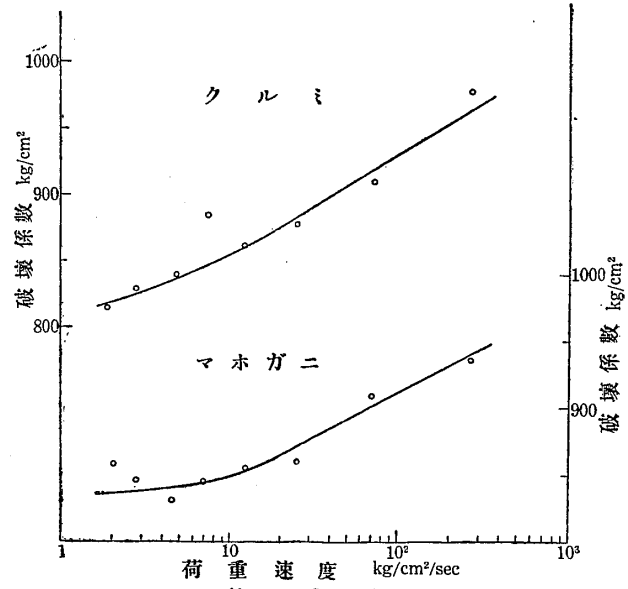
第 19 圖



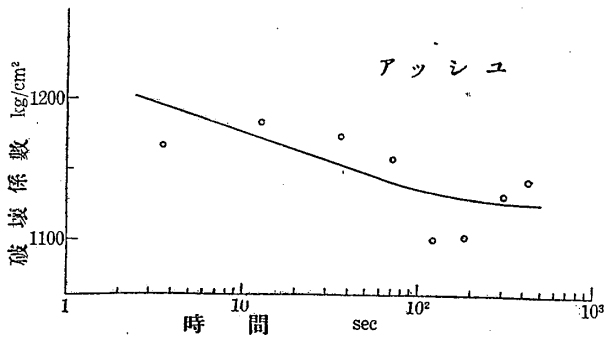
第 22 圖



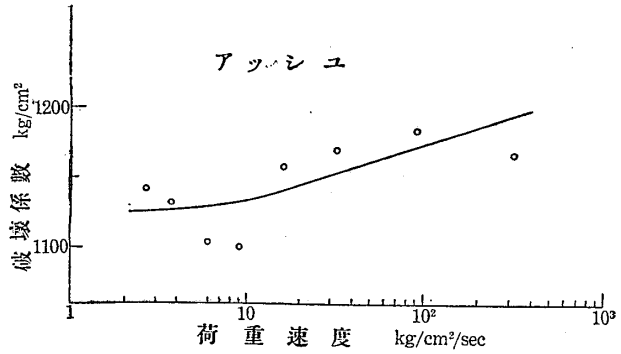
第 20 圖



第 23 圖



第 21 圖



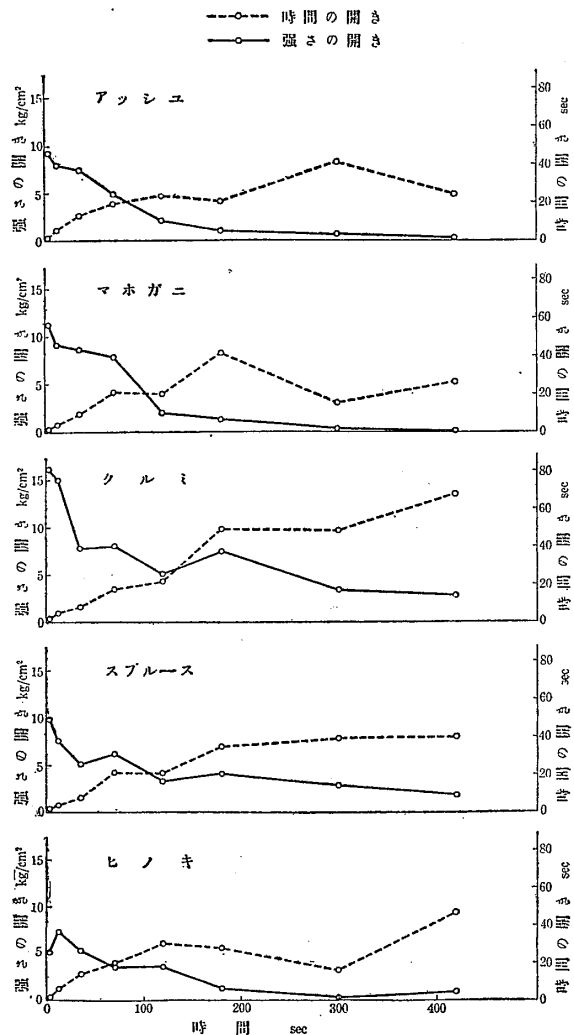
第 24 圖

むらを示すものである。このむらの小さな所で試験するのも一方法であるが、このむらに對し強さの變化の少い所で試験すれば時間の影響を最も少くし得る。各材料に就きて破壊迄の豫定時間に對する時間の開き及びその開きに對する強さの開きを示せば第7表及び第25圖の如くである。各組の時間の開きは破壊迄に要した最大及び最小時間の差から求め、強さの開きは第13、14及び15圖の曲線上にこの時間の開きをとつてそれに対する強さの差を圖上から求めたものである。この結果から見る時は、時間の開きに對する強さの開きは、時間の小なる所に於ては時間の増加に従つて急激な減少を示し、或る時間以上になれば殆ど一定となる。一方、時間の開きは最初は少いが時間の増加と共に増加する。この事は、實驗時間を長くする程その時間に調節することは困難であるが、それにも拘らず強さの變化は小となることを示すものである。而して實際問題として、本試験機を使用する場合には上の結果から見て、5分乃至7分の時間で實驗を行へば略々時間の影響を無視して良いと考へられる。

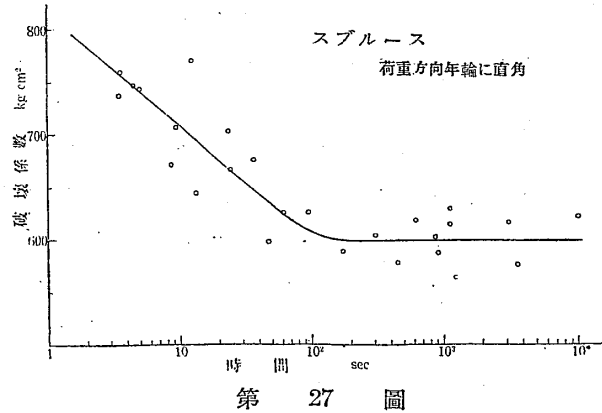
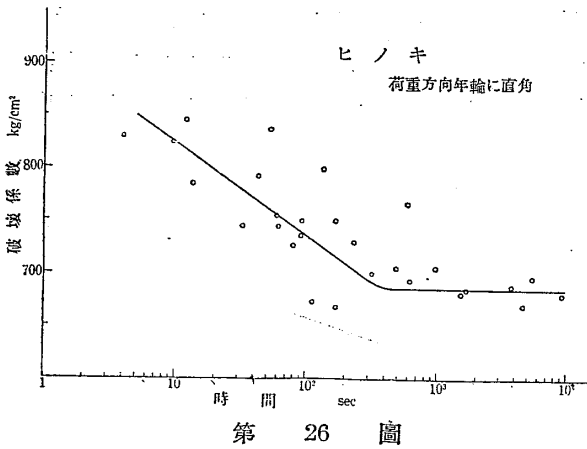
前述の如く本實驗に供した五種類の木材に對する第19圖乃至第21圖の結果は、時間を長くかけて實驗すればその破壊係数は次第に一定値に近づく傾向があることを示す。従つて或る時間以上で實驗すれば時間に關係なく破壊係数は一定値を得るものと推察される。依つてこの事實を確める爲、ヒノキ及びスプルーを試驗材とし、試験

片各二十數本に就きて破壊に要する時間を數秒から凡そ3時間迄種々變化して實驗した。實驗方法は前と同様であつて、荷重方向は斷面に於て年輪に對し直角の方向を選んだ。第26、及び27圖がその結果である。これに依つてみれば上の推察が略々誤りで無いことがわかる。即ち、ヒノキに於ては凡そ5~7分、スプルーに於ては凡そ4分以上の時間で實驗を行へば時間には無關係に略々一定の破壊係数が得られる。従つて5~7分の時間で實驗を行へば十分なることがこの結果から更に明らかとなつた。

本實驗に供せる材料に於ては、各樹種を通じて破壊する迄に試験片に生ずる撓は大約0.7~1.3 cmである。今、破壊に要する時間を5 min、破壊する時の試験片の撓を1 cmと假定すれば、荷重點の支點に對する平均速度は $1/5 = 0.2 \text{ cm/min}$ となる。これを Tiemann の速



第 25 圖



度基準と比較してみる。三點荷重の場合には

$$n = \frac{l^2}{6h} \cdot Z$$

n : 荷重點の速度, cm/min

l : スパン, cm

h : 試験片の深さ, cm

Z : 引張又は壓縮歪の速度, cm/min/cm.

Tiemann の基準は $Z=0.0015$,

$$\therefore n = \frac{24 \times 24}{6 \times 2} \times 0.0015 = 0.072 \text{ cm/min.}$$

これは本実験結果から得た結論の約半に當る。即ち Tiemann の基準に従へば約 15 分の時間で実験を行はねばならない。本実験結果から見ても、時間の長い程強さの差は少くなるから 15 分でも差支は無いが、一方、時間の経済といふことも考へなければならぬから、この試験機を使用する場合には凡そ 5 分で実験を終へる様にすれば十分である。

7. 總 括

(1) Amsler 4 種木材萬能試験機を使用し、航空機用に供せらるゝヒノキ、スプルース、クルミ、マホガニ及びアツシユの五種類の木材に就きて、荷重速度を變へて曲げ強さを試験し、その結果から、本試験機を使用する場合には如何なる荷重速度にて実験を行へば実験結果に對し荷重速度の影響が最も少いかを調べた。

(2) 數秒乃至數分の範囲内で八群の時間に於て実験した。この範囲内に於て強さに對し可成り著しい荷重速度の影響があることがわかつた。

(3) 強さ (f)—時間 (t)、強さ (f)—荷重速度 (v) の二曲線は相矛盾した結果を示すが、 $f-\log t$ 、 $f-\log v$ にて表はす時は矛盾しない。依つて強さに對し影響を及ぼすことの少い時間がこの曲線から大體判斷出来る。

(4) 破壊迄の時間を一定にして実験せんとしても、木材性質のむら及びその時間に調節する操作の難易によつて時間に開きを生ずる。この時間の開きに對して強さの開きの少い時間を實驗時間として選べば、荷重速度の強さに及ぼす影響を最も少なくすることが出来るからこれは (3) によるよりも更に正當である。

(5) (4) によつて各實驗時間に於ける時間の開きに對する強さの開きを考へる時、實驗時

間の小なる所に於ては時間の増加に従つて強さの開きは急激な減少を示し、或る時間以上となれば強さの開きは殆ど一定となる。この結果から見て、本試験機を使用する場合には実験時間として5分乃至7分を選べば時間の影響を無視するに十分である。

(6) 以上の実験の外に、ヒノキ及びスプルースを材料とし、破壊迄の時間を数秒乃至約3時間に變へて実験した。その結果、ヒノキに於ては5分乃至7分以上、スプルースに於ては凡そ4分以上の時間で実験すれば略々一定の強さが得られることがわかつた。これは(5)で得た「実験時間5~7分」なる結果と一致する。

以 上

第 1 表 の 1

試験材 ヒノキ 破壊迄の時間 3~4 秒

年輪に 對する 荷重方向	破壊迄の 時間 sec	平均荷重 速度 kg/cm ² /sec	破壊係數 kg/cm ²	密 度 gr/cm ³	含水量 %	1 cm に 對する 年輪數	
平 行	2.2	330	727	0.321	12.9	7.0	
	2.9	258	749	0.320	12.7	8.0	
	2.6	294	765	0.331	12.7	6.0	
	3.2	243	779	0.322	13.2	7.0	
	2.8	275	771	0.317	12.9	8.0	
	3.6	227	818	0.321	13.0	10.0	
	3.1	254	788	0.339	12.9	11.0	
	2.9	276	800	0.333	13.0	10.0	
	3.5	223	782	0.338	13.1	10.0	
	3.5	227	796	0.314	13.6	6.0	
	平均 3.0	261	778	0.326	13.0	8.3	
	直 角	2.9	254	737	0.321	13.2	9.0
		3.2	249	796	0.328	13.1	9.0
		3.3	230	759	0.316	13.0	8.0
		3.6	219	789	0.328	13.6	7.0
3.4		232	788	0.339	13.7	7.0	
3.7		215	794	0.331	13.6	9.0	
3.8		211	804	0.319	13.2	9.0	
3.4		227	771	0.324	13.6	8.0	
3.8		221	842	0.327	13.1	7.0	
3.5		227	794	0.327	13.3	7.0	
平均 3.5		229	787	0.326	13.3	8.0	
約 45°		3.3	211	697	0.310	13.5	5.0
		3.4	208	706	0.313	13.7	6.0
		3.7	204	756	0.323	13.6	5.0
		3.6	194	699	0.322	14.9	8.0
	3.5	217	759	0.323	14.1	7.0	
	3.7	201	743	0.321	14.4	8.0	
	3.5	205	719	0.314	15.0	7.0	
	3.4	191	648	0.311	13.4	6.0	
	3.8	184	699	0.308	14.4	6.0	
	3.9	186	726	0.320	15.0	6.0	
	平均 3.6	200	715	0.317	14.2	6.4	

試験材 ヒノキ 破壊迄の時間 10~15 秒

第 1 表 の 2

年輪に 對する 荷重方向	破壊迄の 時間 sec	平均荷重 速度 kg/cm ² /sec	破壊係數 kg/cm ²	密 度 gr/cm ³	含水量 %	1 cm に 對する 年輪數	
平 行	9.5	77.2	733	0.321	13.0	9.0	
	13.7	55.5	760	0.320	13.3	9.0	
	13.4	63.1	845	0.331	13.2	9.0	
	14.2	53.1	754	0.321	13.3	8.0	
	14.4	53.1	765	0.317	13.6	8.0	
	12.2	59.8	729	0.322	13.1	7.0	
	13.6	57.8	786	0.339	13.0	7.0	
	15.3	52.4	802	0.333	13.4	8.0	
	13.3	61.5	818	0.338	11.5	8.0	
	平均 13.3	52.0	691	0.314	13.4	9.0	
	平均 13.3	58.6	768	0.326	13.1	8.2	
	直 角	12.4	63.1	782	0.327	13.2	9.0
		14.6	56.0	818	0.331	13.7	8.0
		12.4	65.0	807	0.329	13.6	8.0
		13.7	58.5	801	0.315	13.8	9.0
12.7		59.0	749	0.326	13.6	9.0	
14.1		58.0	818	0.333	13.5	8.0	
15.6		50.2	782	0.314	13.7	9.0	
12.5		64.8	809	0.329	13.4	7.0	
12.1		64.0	774	0.316	13.8	9.0	
12.8		60.7	777	0.323	13.8	8.0	
平均 12.4		59.9	792	0.324	13.6	8.4	
約 45°		14.1	51.2	721	0.313	15.1	6.0
		12.7	55.0	699	0.302	14.6	6.0
		13.5	48.2	651	0.312	14.7	6.0
		13.7	53.1	727	0.335	14.9	7.0
	13.9	53.8	748	0.327	14.7	7.0	
	13.8	53.3	735	0.330	14.6	7.0	
	13.3	54.4	723	0.331	15.0	7.0	
	12.7	52.5	667	0.322	14.4	7.0	
	13.9	51.2	712	0.324	14.3	7.0	
	12.7	53.5	679	0.322	14.3	7.0	
	平均 13.4	52.6	706	0.322	14.7	6.7	

第 1 表 の 3 試験材 ヒノキ 破壊迄の時間 30~40 秒

年輪に 對する 荷重方向	破壊迄の 時間 sec	平均荷重 速度 kg/cm ² /sec	破壊係數 kg/cm ²	密 度 gr/cm ³	含水量 %	1 cm に 對する 年輪數	
平 行	37.9	18.7	710	0.324	13.5	9.0	
	32.0	20.8	666	0.317	13.5	8.0	
	35.5	22.1	785	0.334	13.2	7.0	
	35.6	19.9	708	0.328	13.1	9.0	
	34.8	20.8	725	0.305	12.9	7.0	
	33.7	22.0	742	0.330	13.1	8.0	
	34.1	22.1	752	0.337	12.9	8.0	
	34.4	22.8	786	0.333	13.1	8.0	
	35.6	21.8	776	0.339	13.0	9.0	
	34.5	22.2	766	0.332	13.2	8.0	
	平均 34.8	21.3	742	0.328	13.2	8.1	
	直 角	31.9	25.9	826	0.345	13.3	8.0
		35.4	21.7	768	0.329	13.5	8.0
		34.0	21.9	744	0.333	13.7	8.0
34.6		22.4	775	0.337	13.6	8.0	
39.4		21.5	849	0.338	13.8	8.0	
34.1		22.4	764	0.326	14.0	6.0	
33.7		21.8	734	0.320	13.8	8.0	
33.8		23.5	796	0.340	13.8	8.0	
34.1		22.0	749	0.330	14.7	7.0	
35.6		22.0	782	0.338	13.9	8.0	
平均 34.7		22.5	779	0.334	13.8	7.7	
約 45°		41.3	17.2	711	0.321	15.5	8.0
		36.1	18.4	663	0.318	15.5	7.0
		33.3	21.4	712	0.330	14.0	7.0
	31.5	20.9	659	0.307	14.0	7.0	
	30.1	23.4	704	0.328	15.3	6.0	
	32.7	20.8	679	0.340	13.0	7.0	
	33.9	20.5	695	0.337	15.4	7.0	
	28.8	23.4	674	0.323	15.3	7.0	
	34.4	19.8	680	0.331	15.4	7.0	
	27.4	23.8	652	0.335	15.4	6.0	
	平均 33.0	21.0	683	0.327	14.9	6.9	

第 1 表 の 4 試験材 ヒノキ 破壊迄の時間 60~80 秒

年輪に 對する 荷重方向	破壊迄の 時間 sec	平均荷重 速度 kg/cm ² /sec	破壊係數 kg/cm ²	密 度 gr/cm ³	含水量 %	1 cm に 對する 年輪數	
平 行	69.7	11.1	773	0.335	14.0	8.0	
	66.7	11.5	769	0.345	14.2	9.0	
	69.3	11.2	778	0.337	14.5	8.0	
	59.7	10.7	638	0.310	14.2	7.0	
	68.8	10.1	698	0.322	13.3	8.0	
	65.6	10.8	706	0.330	14.3	8.0	
	67.6	10.7	722	0.332	14.2	8.0	
	73.0	10.4	761	0.335	14.1	8.0	
	70.8	10.5	740	0.336	14.5	7.0	
	73.0	10.3	752	0.340	14.3	8.0	
	平均 68.4	10.7	734	0.332	14.2	7.9	
	直 角	71.5	10.9	777	0.322	14.2	8.0
		79.5	10.4	829	0.329	14.0	8.0
		72.7	11.1	809	0.325	14.1	8.0
67.6		10.5	708	0.330	14.8	10.0	
69.5		11.4	791	0.336	14.1	7.0	
65.3		11.3	739	0.320	14.0	6.0	
68.5		10.6	727	0.328	14.3	8.0	
67.7		11.3	763	0.332	14.0	10.0	
平均 70.3		10.9	768	0.328	14.2	8.1	
約 45°		69.2	9.7	671	0.340	14.9	8.0
		68.4	10.0	683	0.348	14.6	8.0
		70.8	9.8	692	0.344	13.5	7.0
		71.7	9.2	659	0.328	14.9	7.0
		63.3	10.1	638	0.340	14.7	8.0
	73.2	9.4	687	0.344	14.4	7.0	
	68.3	9.8	670	0.337	14.7	8.0	
	69.0	10.0	690	0.350	14.7	7.0	
	74.4	9.4	700	0.314	13.8	5.0	
	74.0	8.6	638	0.310	13.8	7.0	
	平均 70.2	9.6	673	0.336	14.4	7.2	

第 1 表 の 5

試験材 ヒノキ 破壊迄の時間 約 120 秒

年輪に対する荷重方向	破壊迄の時間 sec	平均荷重速度 kg/cm ² /sec	破壊係数 kg/cm ²	密度 gr/cm ³	含水率 %	1 cm に対する年輪数	
平 行	128	5.5	705	0.327	14.7	8.0	
	125	5.4	672	0.307	13.4	7.0	
	128	6.0	769	0.330	13.5	7.0	
	125	6.4	802	0.332	14.0	9.0	
	122	6.2	756	0.337	13.9	10.0	
	128	5.9	754	0.330	14.1	9.0	
	105	6.0	635	0.315	14.5	8.0	
	122	6.0	729	0.325	14.0	7.0	
	121	5.9	713	0.324	13.9	8.0	
	114	5.9	669	0.321	14.1	6.0	
	122	5.9	720	0.325	14.0	7.9	
	平均						
	直 角	127	5.6	717	0.298	15.6	7.0
		121	6.3	761	0.316	15.9	6.0
125		6.1	764	0.331	14.2	9.0	
121		5.7	692	0.315	14.5	8.0	
129		5.6	722	0.315	14.6	9.0	
116		5.9	680	0.319	15.1	9.0	
135		5.8	778	0.329	14.5	9.0	
126		6.1	767	0.319	14.4	10.0	
113		6.1	687	0.315	15.1	8.0	
120		5.9	706	0.313	14.5	8.0	
123		5.9	727	0.327	14.8	8.3	
平均							
約 45°		123	5.6	683	0.318	14.6	6.0
		122	5.8	710	0.317	15.6	6.0
	126	5.5	695	0.321	14.2	6.0	
	120	5.2	629	0.308	13.9	6.0	
	123	5.9	723	0.318	14.3	6.0	
	124	5.7	711	0.322	14.3	6.0	
	124	5.4	674	0.316	14.5	8.0	
	123	5.6	693	0.325	14.4	7.0	
	120	5.3	639	0.308	14.8	8.0	
	115	5.7	654	0.313	14.8	9.0	
	122	5.6	681	0.317	15.2	8.0	
	平均				14.6	6.8	

第 1 表 の 6

試験材 ヒノキ 破壊迄の時間 約 180 秒

年輪に対する荷重方向	破壊迄の時間 sec	平均荷重速度 kg/cm ² /sec	破壊係数 kg/cm ²	密度 gr/cm ³	含水率 %	1 cm に対する年輪数	
平 行	183	4.4	798	0.330	13.6	10.0	
	186	4.1	770	0.327	13.7	9.0	
	181	4.1	737	0.318	13.7	8.0	
	176	3.8	662	0.314	14.0	9.0	
	186	3.9	730	0.329	13.5	7.0	
	182	4.4	805	0.339	13.6	7.0	
	160	4.9	787	0.334	11.2	8.0	
	178	4.2	739	0.328	13.3	9.0	
	184	4.0	735	0.332	13.5	9.0	
	176	4.0	700	0.325	13.8	9.0	
	平均	179	4.2	746	0.327	13.4	8.5
	直 角	183	4.1	754	0.335	14.5	8.0
		180	4.3	778	0.330	14.4	8.0
		179	4.2	758	0.329	14.4	8.0
179		4.1	727	0.323	14.7	8.0	
182		4.3	783	0.327	15.5	8.0	
183		4.2	763	0.325	13.7	7.0	
180		4.1	738	0.311	14.9	7.0	
183		4.3	790	0.318	14.9	8.0	
181		4.4	789	0.328	15.2	8.0	
177		4.1	722	0.326	15.3	8.0	
平均		181	4.2	760	0.325	14.7	7.8
約 45°		182	3.6	648	0.314	13.8	6.0
		180	3.4	619	0.312	13.8	7.0
		187	3.7	695	0.322	14.1	6.0
	180	3.8	687	0.320	14.4	9.0	
	178	3.8	674	0.324	14.2	9.0	
	180	3.8	676	0.317	13.9	8.0	
	181	4.0	716	0.330	14.1	8.0	
	178	3.5	626	0.322	14.2	9.0	
	173	3.7	635	0.313	14.1	9.0	
	175	3.6	632	0.311	14.1	8.0	
	平均	179	3.7	661	0.319	14.1	7.9

第 1 表 の 8

試験材 ヒノキ 破壊迄の時間 約 420 秒

年輪に對する荷重方向	破壊迄の時間 sec	平均荷重速度 kg/cm ² /sec	破壊係數 kg/cm ²	密度 gr/cm ³	含水量 %	1 cm に対する輪數 年
平 行	422	1.7	728	0.338	14.0	8.0
	421	1.7	728	0.361	14.5	8.0
	420	1.8	761	0.330	13.7	8.0
	415	1.7	703	0.333	13.9	8.0
	426	1.7	711	0.333	14.5	7.0
	429	1.6	673	0.325	14.0	6.0
	429	1.8	777	0.312	13.8	8.0
	428	1.7	737	0.337	14.0	7.0
	420	1.6	670	0.329	14.0	8.0
	平均 423	1.7	721	0.322	14.0	7.5
直 角	434	1.8	764	0.331	16.0	6.0
	414	1.5	639	0.310	15.1	7.0
	410	1.5	627	0.307	16.5	7.0
	419	1.8	744	0.327	16.8	7.0
	418	1.9	779	0.330	16.7	8.0
	412	1.7	706	0.330	17.7	7.0
	386	1.7	654	0.320	15.5	8.0
	417	1.6	677	0.321	14.6	7.0
	418	1.7	715	0.322	15.3	8.0
	平均 414	1.7	701	0.322	16.0	7.2
約 45°	417	1.5	627	0.311	14.2	6.0
	421	1.5	635	0.318	14.4	6.0
	414	1.6	664	0.315	14.1	6.0
	418	1.6	685	0.333	14.3	6.0
	425	1.6	698	0.326	14.3	8.0
	423	1.7	720	0.334	14.0	8.0
	415	1.7	718	0.338	14.2	8.0
	424	1.6	689	0.337	14.2	8.0
	427	1.6	703	0.335	14.1	7.0
	414	1.6	643	0.323	14.2	7.0
平均 420	1.6	678	0.327	14.2	7.0	

第 1 表 の 7

試験材 ヒノキ 破壊迄の時間 約 300 秒

年輪に對する荷重方向	破壊迄の時間 sec	平均荷重速度 kg/cm ² /sec	破壊係數 kg/cm ²	密度 gr/cm ³	含水量 %	1 cm に対する輪數 年	
平 行	301	2.6	784	0.332	13.6	9.0	
	303	2.4	742	0.327	13.3	8.0	
	301	2.5	741	0.323	13.5	8.0	
	297	2.5	753	0.326	13.0	6.0	
	292	2.3	669	0.313	13.0	7.0	
	298	2.6	769	0.333	13.2	7.0	
	301	2.5	757	0.335	13.2	7.0	
	301	2.5	765	0.338	13.5	8.0	
	294	2.8	827	0.348	13.5	8.0	
	292	2.5	733	0.344	13.5	8.0	
	298	2.5	754	0.332	13.3	7.6	
	直 角	289	2.4	697	0.328	16.8	8.0
		294	2.2	657	0.300	14.9	7.0
		300	2.1	630	0.307	15.4	7.0
298		2.4	724	0.315	15.6	7.0	
304		2.5	771	0.323	15.6	7.0	
299		2.5	757	0.326	15.7	8.0	
299		2.5	734	0.330	15.4	9.0	
300		2.5	740	0.324	15.4	9.0	
301		2.5	760	0.329	15.7	8.0	
302		2.4	737	0.326	15.8	7.0	
平均 299	2.4	721	0.321	15.6	7.7		
約 45°	301	2.3	680	0.325	13.9	8.0	
	304	2.3	690	0.321	13.8	9.0	
	296	2.3	688	0.330	13.7	8.0	
	299	2.2	660	0.320	13.9	8.0	
	301	2.3	696	0.325	14.0	6.0	
	304	2.3	696	0.330	14.1	8.0	
	299	2.4	717	0.326	14.2	8.0	
	303	2.3	709	0.335	14.1	7.0	
	301	2.4	708	0.337	14.1	7.0	
	306	2.4	725	0.335	14.4	7.0	
平均 301	2.3	697	0.328	14.0	7.6		

第 2 表 の 1
試験材 スプルー ス
破壊迄の時間 3~4秒

年輪に 對する 荷重方向	破壊迄の 時間 sec	平均荷重 速度 kg/cm ² /sec	破壊係數 kg/cm ²	密 度 gr/cm ³	含水 量 %	1 cm に 對する 年輪數	
平 行	3.4	176	597	0.306	15.3	4.5	
	2.8	203	569	0.301	16.1	5.0	
	3.4	154	524	0.286	16.1	2.5	
	4.0	137	546	0.296	16.1	2.5	
	3.2	173	554	0.301	16.2	2.5	
	3.1	160	497	0.284	16.4	2.5	
	3.6	148	531	0.300	16.6	3.0	
	3.9	154	601	0.315	16.5	4.5	
	3.1	194	600	0.320	16.6	3.0	
	3.5	159	558	0.296	16.7	2.5	
	平均 3.4	166	558	0.301	16.2	3.3	
	直 角	3.1	197	610	0.295	14.5	3.0
		3.9	187	728	0.312	14.8	2.5
		3.8	163	619	0.300	15.0	2.5
		3.8	170	647	0.308	15.2	6.0
3.9		158	617	0.302	15.2	5.0	
3.7		165	611	0.298	15.1	3.0	
3.6		194	700	0.310	14.9	3.5	
3.4		182	618	0.304	14.9	3.0	
3.1		180	559	0.293	15.0	2.5	
3.9		158	618	0.301	14.8	2.5	
平均 3.6		175	633	0.302	14.9	3.4	
約 45°		3.8	156	594	0.307	15.0	5.3
		3.6	159	573	0.312	15.1	6.0
		3.8	151	574	0.306	15.5	5.7
		4.4	123	540	0.287	15.1	4.2
	3.9	157	612	0.315	15.0	5.0	
	3.9	142	554	0.304	15.1	3.5	
	3.9	143	556	0.303	15.0	4.6	
	4.1	137	563	0.293	15.0	3.2	
	3.6	153	552	0.293	15.1	2.5	
	3.5	170	594	0.296	14.8	2.1	
	平均 3.9	149	571	0.302	15.1	4.2	

第 2 表 の 2
試験材 スプルー ス
破壊迄の時間 10~15秒

年輪に 對する 荷重方向	破壊迄の 時間 sec	平均荷重 速度 kg/cm ² /sec	破壊係數 kg/cm ²	密 度 gr/cm ³	含水 量 %	1 cm に 對する 年輪數	
平 行	13.2	43.2	570	0.305	14.8	2.5	
	13.8	42.2	582	0.297	14.9	2.5	
	15.8	41.1	649	0.307	15.0	5.5	
	14.4	41.5	597	0.303	15.0	5.5	
	12.8	45.8	586	0.298	15.1	4.0	
	14.2	41.1	583	0.295	14.8	3.5	
	13.5	43.2	583	0.299	15.0	3.0	
	12.9	43.5	561	0.293	15.1	2.5	
	12.9	41.4	534	0.287	15.1	2.5	
	14.0	45.1	631	0.307	15.0	5.5	
	平均 13.7	42.8	588	0.299	15.0	3.7	
	直 角	12.9	44.6	576	0.301	14.6	5.5
		14.9	41.1	613	0.308	14.9	3.5
		14.4	43.1	620	0.306	15.0	3.5
		14.7	45.7	671	0.305	15.0	3.0
13.2		44.9	593	0.294	15.1	2.5	
12.7		44.0	558	0.298	15.3	2.5	
14.8		43.4	642	0.310	15.2	5.5	
12.9		45.7	589	0.303	15.1	5.5	
14.0		46.4	649	0.312	15.0	3.5	
14.1		47.8	674	0.328	14.7	4.0	
平均 13.9		44.7	619	0.307	15.0	3.9	
約 45°		13.3	41.1	546	0.295	15.1	2.8
		14.3	42.8	612	0.304	15.2	5.3
		14.1	41.7	588	0.295	15.2	4.2
		15.0	38.1	571	0.302	15.2	5.0
	12.8	43.0	550	0.291	15.2	2.5	
	14.3	38.2	547	0.295	15.2	2.5	
	12.4	44.2	548	0.298	15.0	2.1	
	13.8	38.5	531	0.293	15.1	2.5	
	13.0	42.2	548	0.297	15.2	2.5	
	14.4	42.6	614	0.313	14.7	6.4	
	平均 13.7	41.2	566	0.298	15.1	3.7	

第 2 表 の 3

試験材 スプルース 破壊迄の時間 30~40 秒

年輪に 對する 荷重方向	破壊迄の 時間 sec	平均荷重 速度 kg/cm ² /sec.	破壊係數 kg/cm ²	密度 gr/cm ³	含水量 %	1 cm なる 對する 年輪數
平 行	33.9	18.5	628	0.318	14.8	3.0
	35.7	16.1	576	0.306	15.1	2.5
	33.6	15.8	531	0.306	15.4	2.5
	37.1	16.2	601	0.305	15.4	5.0
	34.9	16.6	581	0.299	15.4	3.5
	36.2	16.8	609	0.313	15.5	3.5
	35.2	16.3	573	0.307	15.5	3.0
	34.5	17.7	612	0.303	15.7	5.0
	37.3	16.6	620	0.302	15.6	5.0
	33.8	16.8	599	0.290	15.5	4.0
	平均 35.2	16.7	590	0.305	15.4	3.2
	直 角	34.9	17.5	609	0.288	14.6
34.1		18.4	628	0.298	15.0	3.0
35.9		15.7	563	0.300	15.4	2.5
34.5		16.1	557	0.290	15.2	2.5
37.9		14.7	559	0.302	15.2	5.5
39.5		15.5	611	0.301	15.2	5.5
38.0		16.3	621	0.292	15.1	2.5
36.2		16.9	613	0.305	15.2	5.5
33.4		16.3	545	0.302	15.0	6.0
32.7		16.3	533	0.276	14.8	2.5
平均 35.7		16.4	584	0.295	15.1	3.9
約 45°		34.7	14.6	508	0.287	14.9
	36.1	14.8	534	0.297	15.2	2.1
	37.2	16.0	594	0.306	15.1	4.6
	36.1	15.3	552	0.294	15.1	2.5
	32.1	16.4	527	0.295	15.1	2.5
	38.3	14.5	555	0.300	15.1	4.2
	35.3	15.2	535	0.287	15.1	2.8
	36.5	15.3	560	0.299	15.0	2.5
	34.0	15.1	514	0.296	15.0	2.1
	32.3	17.5	565	0.295	14.5	3.5
	平均 35.3	15.5	544	0.296	15.0	2.9

第 2 表 の 4

試験材 スプルース 破壊迄の時間 60~80 秒

年輪に 對する 荷重方向	破壊迄の 時間 sec	平均荷重 速度 kg/cm ² /sec.	破壊係數 kg/cm ²	密度 gr/cm ³	含水量 %	1 cm なる 對する 年輪數
平 行	67.8	9.3	633	0.310	14.9	6.0
	68.8	8.1	566	0.297	15.5	2.0
	65.4	8.6	565	0.288	15.4	7.0
	73.6	8.5	627	0.308	15.4	6.0
	70.6	8.3	589	0.297	15.3	3.5
	75.6	8.3	630	0.309	15.5	5.0
	68.6	8.5	582	0.305	15.3	3.0
	70.3	7.8	549	0.297	15.4	2.5
	67.2	8.3	558	0.305	15.5	2.5
	71.4	8.6	614	0.305	15.3	5.5
	平均 69.9	8.4	590	0.302	15.4	4.3
	直 角	66.8	8.7	579	0.298	14.8
74.7		8.3	617	0.295	15.0	4.5
69.7		8.3	576	0.291	14.4	2.5
67.2		8.6	575	0.295	14.9	2.5
68.2		7.6	517	0.296	15.1	3.0
74.1		8.0	591	0.296	14.9	3.0
75.3		8.4	629	0.307	15.1	5.5
65.8		8.8	579	0.298	15.0	5.5
64.2		8.8	565	0.295	15.0	2.5
74.4		8.1	604	0.292	14.8	2.5
平均 70.0		8.4	583	0.296	14.9	3.7
約 45°		67.4	8.7	589	0.313	15.1
	70.5	8.1	568	0.306	15.4	2.8
	54.9	8.6	474	0.293	15.2	2.5
	67.5	7.9	530	0.304	15.2	4.6
	66.0	8.4	554	0.302	15.2	4.6
	69.1	7.6	526	0.293	15.2	3.5
	66.8	7.7	514	0.299	15.1	2.8
	73.0	8.1	589	0.313	15.2	5.3
	67.3	8.6	576	0.302	15.2	4.6
	72.9	7.9	577	0.309	14.8	3.5
	平均 67.5	8.2	550	0.303	15.2	3.8

第 2 表 の 5
試験材 スプルー ス 破壊迄の時間 約 120 秒

年輪に 對する 荷重方向	破壊迄の 時間 sec	平均荷重 速 kg/cm ² /sec	破壊係數 kg/cm ²	密 度 gr/cm ³	含水 量 %	1 cm に 對する 年輪數	
平 行	109	5.2	570	0.305	15.1	5.5	
	121	4.7	564	0.300	15.4	5.5	
	116	4.8	558	0.306	15.6	5.0	
	122	4.6	562	0.300	15.6	5.5	
	119	4.4	523	0.299	15.7	2.5	
	122	4.3	519	0.286	15.7	2.5	
	112	4.1	463	0.285	16.0	2.0	
	118	4.3	510	0.283	15.9	2.0	
	120	4.9	589	0.306	15.9	5.5	
	120	5.1	608	0.307	15.7	5.0	
	平均 118	4.6	547	0.298	15.7	4.2	
	直 角	126	4.8	604	0.300	14.8	5.5
		120	4.7	558	0.296	15.3	2.5
		120	4.3	517	0.290	15.3	2.5
113		4.6	518	0.296	15.4	3.0	
126		4.8	599	0.300	15.3	2.5	
124		4.4	551	0.283	15.3	2.5	
113		4.7	531	0.293	15.3	2.5	
127		4.7	595	0.299	15.6	2.5	
109		5.1	556	0.304	15.3	7.0	
114		4.8	545	0.308	15.0	5.5	
平均 119		4.7	557	0.297	15.3	3.6	
約 45°		124	4.4	545	0.312	15.6	3.5
		125	4.3	532	0.300	15.6	2.8
		125	4.1	508	0.298	15.6	2.1
	117	4.2	492	0.295	15.7	2.1	
	127	4.2	528	0.308	15.6	5.3	
	121	4.4	528	0.303	15.5	5.0	
	119	4.4	518	0.291	15.4	2.1	
	120	4.3	519	0.306	15.4	2.5	
	126	4.3	536	0.303	15.4	2.5	
	130	4.3	563	0.313	15.1	3.5	
	平均 123	4.3	527	0.303	15.5	4.2	
						3.3	

試験材 スプルー ス 破壊迄の時間 約 180 秒

年輪に 對する 荷重方向	破壊迄の 時間 sec	平均荷重 速 kg/cm ² /sec	破壊係數 kg/cm ²	密 度 gr/cm ³	含水 量 %	1 cm に 對する 年輪數	
平 行	170	3.4	571	0.303	15.8	5.0	
	164	3.0	498	0.284	15.4	2.5	
	169	3.2	536	0.299	15.4	2.5	
	176	3.1	548	0.299	15.5	2.5	
	170	3.2	548	0.301	15.5	7.0	
	182	3.2	586	0.305	15.4	6.0	
	180	2.9	528	0.292	15.6	2.5	
	176	3.1	546	0.296	15.7	2.5	
	161	3.0	486	0.286	15.9	2.0	
	176	2.9	509	0.297	15.6	2.0	
	平均 172	3.1	536	0.296	15.6	3.5	
	直 角	168	3.3	549	0.305	15.1	5.5
		184	3.3	608	0.301	15.7	5.5
		196	3.1	614	0.297	15.5	2.5
178		3.3	582	0.298	15.5	3.0	
184		3.2	584	0.301	15.5	3.0	
167		3.1	525	0.286	15.3	4.0	
183		3.0	550	0.304	15.3	5.0	
181		3.1	555	0.295	16.0	2.5	
191		3.1	595	0.298	15.5	2.5	
172		3.0	520	0.298	14.8	3.0	
平均 180		3.2	568	0.298	15.4	3.7	
約 45°		161	3.2	517	0.300	15.4	2.8
		179	3.0	545	0.304	15.5	4.6
		171	2.8	486	0.285	15.5	2.8
	174	3.1	588	0.308	15.4	2.8	
	177	3.0	524	0.299	15.5	2.5	
	170	3.1	521	0.306	15.6	4.6	
	164	2.8	465	0.296	15.7	2.5	
	172	3.0	521	0.297	15.6	2.1	
	175	3.1	549	0.298	15.5	2.5	
	164	3.1	510	0.291	14.6	2.5	
	平均 171	3.0	517	0.298	15.4	2.5	

試験材 スプルー ス 破壊迄の時間 約 180 秒

第 2 表 の 7

試験材 スプルース 破壊迄の時間 約 300 秒

年輪に 對する 荷重方向	破壊迄の 時 sec	平均荷重 速 kg/cm ² /sec	破壊係數 kg/cm ²	密 gr/cm ³	含水 量 %	1 cm に 對する 年輪數
平 行	287	1.9	554	0.295	15.3	4.5
	289	1.8	525	0.302	15.6	5.0
	291	1.8	533	0.292	15.7	3.0
	292	1.8	528	0.302	15.6	3.0
	287	1.9	538	0.305	15.7	6.0
	300	1.8	552	0.307	15.7	5.5
	278	1.8	497	0.290	15.8	4.0
	293	1.8	541	0.304	15.9	5.5
	286	1.8	502	0.296	15.4	3.0
	295	1.8	523	0.308	15.8	3.0
	平均 290	1.8	529	0.300	15.7	4.3
	直 角	276	1.8	492	0.289	16.0
301		1.8	531	0.305	16.1	6.5
291		2.0	569	0.307	16.0	5.5
301		1.8	550	0.303	16.2	6.5
292		2.0	573	0.308	16.0	6.0
304		1.8	554	0.297	16.1	2.5
307		1.8	565	0.297	16.0	2.5
271		1.8	483	0.296	16.1	2.5
307		2.0	601	0.302	16.1	6.5
294		1.8	526	0.291	16.0	2.5
平均 294		1.9	544	0.300	16.1	4.5
約 45°		291	1.7	485	0.291	14.5
	296	1.7	498	0.292	14.8	3.9
	300	1.7	518	0.299	14.7	4.2
	299	1.8	530	0.307	14.9	4.6
	310	1.8	550	0.304	15.0	4.2
	297	1.8	539	0.300	15.1	2.5
	295	1.8	526	0.307	15.0	4.6
	285	1.8	508	0.291	15.0	2.8
	300	1.7	500	0.293	15.0	2.5
	303	1.8	546	0.304	14.2	2.8
	平均 298	1.8	520	0.299	14.8	3.4

第 2 表 の 8

試験材 スプルース 破壊迄の時間 約 420 秒

年輪に 對する 荷重方向	破壊迄の 時 sec	平均荷重 速 kg/cm ² /sec	破壊係數 kg/cm ²	密 gr/cm ³	含水 量 %	1 cm に 對する 年輪數
平 行	404	1.3	544	0.300	16.1	6.5
	413	1.4	563	0.313	16.3	5.5
	416	1.1	477	0.290	16.3	2.5
	414	1.2	490	0.291	16.5	2.5
	406	1.2	484	0.292	16.5	2.5
	421	1.3	538	0.290	16.4	2.5
	419	1.3	548	0.303	16.3	2.5
	405	1.3	526	0.300	16.4	2.5
	410	1.2	512	0.297	16.5	2.5
	415	1.3	548	0.301	16.6	5.5
	平均 412	1.3	523	0.298	16.4	3.5
	直 角	389	1.1	455	0.293	15.9
412		1.3	538	0.290	16.0	2.5
429		1.2	532	0.293	16.0	2.5
416		1.4	574	0.295	16.0	2.5
406		1.2	477	0.289	16.0	2.5
421		1.3	529	0.300	16.3	5.5
427		1.3	569	0.305	16.3	5.0
412		1.3	520	0.303	16.3	5.0
406		1.2	505	0.282	16.3	4.5
389		1.2	452	0.294	15.9	3.0
平均 411		1.3	515	0.292	16.1	3.6
約 45°		427	1.2	531	0.304	15.1
	424	1.2	502	0.293	15.5	2.5
	420	1.2	515	0.305	15.4	3.2
	421	1.2	491	0.292	15.3	2.5
	414	1.2	477	0.301	15.5	2.5
	402	1.1	428	0.299	15.4	2.5
	424	1.2	507	0.300	15.2	2.5
	412	1.2	505	0.289	15.1	3.9
	420	1.2	509	0.298	15.1	5.0
	422	1.2	526	0.304	14.6	5.3
	平均 418	1.2	499	0.299	15.2	3.2

第 3 表 の 2

試験材クルミ 破壊迄の時間 10~15秒

年輪に 對する 荷重方向	破壊迄の 時間 sec	平均荷重 速度 kg/cm ² /sec	破壊係數 kg/cm ²	密度 gr/cm ³	含水 量 %	1 cm なる 對する 年輪數	
平 行	13.9	73.8	1026	0.494	13.0	3.5	
	12.4	79.0	979	0.462	12.8	4.0	
	12.4	75.0	929	0.421	12.7	4.0	
	12.5	75.0	937	0.449	12.6	4.5	
	9.7	75.4	731	0.464	12.5	3.5	
	13.4	63.8	855	0.436	12.9	5.0	
	14.2	63.6	903	0.466	12.6	4.5	
	13.1	68.3	895	0.469	12.5	4.0	
	14.5	68.9	999	0.509	12.4	4.5	
	12.1	71.6	866	0.443	12.7	6.0	
	平均	12.8	71.4	912	0.461	12.7	4.3
	直 角	14.0	66.9	937	0.434	13.3	5.0
12.9		71.0	916	0.504	13.2	3.5	
14.6		76.0	1109	0.508	13.2	4.0	
12.0		72.4	869	0.491	13.3	4.0	
11.7		74.7	874	0.476	13.4	6.0	
12.7		78.4	995	0.484	13.1	4.0	
12.5		73.7	921	0.407	13.0	7.0	
13.8		75.3	1038	0.477	12.7	3.5	
11.2		73.5	823	0.491	12.8	3.5	
12.0		68.9	827	0.397	13.0	7.5	
平均		12.7	73.1	931	0.467	13.1	4.8
約 45°		12.1	80.3	978	0.451	13.5	5.0
	10.1	80.4	812	0.467	13.2	4.6	
	12.1	74.9	906	0.458	13.2	4.2	
	12.0	75.6	908	0.461	13.0	3.9	
	11.2	76.7	859	0.459	13.3	4.2	
	12.0	78.4	941	0.434	12.9	4.2	
	12.9	70.6	911	0.469	12.9	3.9	
	11.5	69.8	803	0.423	13.0	5.3	
	11.3	71.6	809	0.433	13.0	4.6	
	11.7	77.2	903	0.413	13.1	5.7	
	平均	11.7	75.6	883	0.447	13.1	4.6

第 3 表 の 1

試験材クルミ 破壊迄の時間 3~4秒

年輪に 對する 荷重方向	破壊迄の 時間 sec	平均荷重 速度 kg/cm ² /sec	破壊係數 kg/cm ²	密度 gr/cm ³	含水 量 %	1 cm なる 對する 年輪數	
平 行	3.9	239	932	0.425	11.8	6.0	
	4.2	263	1103	0.505	11.9	4.0	
	4.1	259	1062	0.516	11.8	4.0	
	3.3	273	901	0.428	11.9	6.0	
	3.6	303	1089	0.504	11.9	4.5	
	4.1	281	1154	0.528	11.6	4.0	
	3.1	335	1038	0.461	11.7	4.0	
	3.1	314	973	0.457	11.8	4.0	
	3.9	256	999	0.471	12.2	3.5	
	2.6	364	945	0.499	12.0	4.0	
	平均	3.6	289	1020	0.479	11.9	4.4
	直 角	3.4	283	962	0.454	12.5	5.0
4.1		270	1107	0.470	12.4	4.0	
3.8		255	971	0.437	12.2	5.0	
3.0		271	813	0.440	12.1	4.5	
3.5		244	855	0.429	12.2	4.5	
3.6		283	1020	0.440	12.2	4.0	
3.4		288	979	0.435	12.3	4.5	
3.5		298	1043	0.489	12.3	3.5	
3.2		263	840	0.460	12.3	4.0	
3.9		267	1041	0.444	12.2	3.5	
平均		3.6	272	963	0.450	12.3	4.3
約 45°		3.9	230	897	0.421	12.6	5.3
	3.6	299	1076	0.490	12.5	4.2	
	3.4	282	959	0.476	12.4	4.6	
	3.9	269	1050	0.501	12.4	3.5	
	3.5	272	951	0.487	12.4	3.5	
	3.0	276	829	0.450	12.2	3.5	
	3.3	255	843	0.421	12.4	5.0	
	3.3	296	976	0.486	12.5	3.2	
	3.4	277	943	0.481	12.3	3.5	
	3.4	283	962	0.442	12.4	3.5	
	平均	3.5	274	949	0.466	12.4	4.0

第 3 表 の 4
試験材 クルミ 破壊迄の時間 60~80 秒

年輪に 対する 荷重方向	破壊迄の 時間 sec	平均荷重 速度 kg/cm ² /sec	破壊係数 kg/cm ²	密 度 gr/cm ³	含水量 %	1 cm に 対する 年輪数	
平 行	66.0	13.7	903	0.467	13.2	5.0	
	71.3	13.2	940	0.458	13.0	3.5	
	71.2	13.3	949	0.461	13.8	3.5	
	70.3	11.4	799	0.421	13.1	6.5	
	69.0	12.5	865	0.437	13.2	4.0	
	68.2	13.7	933	0.474	14.6	3.0	
	68.2	12.9	880	0.429	12.6	6.0	
	71.1	13.1	934	0.431	12.4	4.0	
	72.4	13.1	948	0.456	12.7	5.0	
	67.4	14.2	956	0.439	12.7	4.5	
	平均 69.5	13.1	911	0.447	13.0	4.5	
	直 角	63.4	13.2	840	0.478	13.4	4.0
		73.4	13.0	957	0.456	13.5	5.0
		76.1	12.5	936	0.420	13.2	4.0
		60.5	12.3	742	0.460	13.0	4.0
58.3		11.6	677	0.453	13.2	3.5	
72.0		11.4	822	0.425	12.4	5.5	
65.8		12.8	840	0.452	13.1	5.0	
68.1		13.2	901	0.437	13.0	4.0	
68.2		10.7	728	0.410	13.5	7.0	
72.7		13.2	961	0.442	13.2	4.5	
平均 67.8		12.4	840	0.443	13.2	4.7	
約 45°		65.7	11.2	737	0.461	13.6	4.2
		67.8	12.7	863	0.435	13.6	4.6
		71.3	11.6	827	0.420	13.6	5.3
		72.2	12.2	879	0.439	13.4	3.5
	75.6	11.6	879	0.441	13.4	3.9	
	72.0	11.3	815	0.460	13.2	3.9	
	68.3	13.1	894	0.468	13.1	3.9	
	62.3	10.3	639	0.434	13.3	3.9	
	71.5	12.3	876	0.420	13.4	4.2	
	74.0	11.7	867	0.425	13.8	5.7	
	平均 70.1	11.8	828	0.440	13.4	4.3	

第 3 表 の 3
試験材 クルミ 破壊迄の時間 30~40 秒

年輪に 対する 荷重方向	破壊迄の 時間 sec	平均荷重 速度 kg/cm ² /sec	破壊係数 kg/cm ²	密 度 gr/cm ³	含水量 %	1 cm に 対する 年輪数	
平 行	35.9	25.8	927	0.437	12.9	3.5	
	32.5	25.2	818	0.410	13.0	7.0	
	37.2	20.8	773	0.427	12.8	5.0	
	34.7	24.2	840	0.446	12.7	4.0	
	31.4	25.9	812	0.427	13.0	5.0	
	32.9	26.0	856	0.456	13.0	4.0	
	34.8	25.3	882	0.464	12.8	3.5	
	34.0	23.4	795	0.442	12.4	5.0	
	34.7	24.5	851	0.462	12.7	4.0	
	33.1	25.0	828	0.437	12.9	6.0	
	平均 34.1	24.6	838	0.441	12.8	4.7	
	直 角	34.2	26.7	912	0.455	13.2	4.0
		37.3	24.3	905	0.446	13.0	5.5
		35.8	25.0	896	0.451	13.2	5.0
		37.5	23.3	874	0.451	13.2	5.0
33.8		27.3	922	0.470	13.3	4.0	
35.7		27.5	933	0.479	13.1	4.0	
33.4		25.4	848	0.433	13.3	5.0	
33.2		24.1	799	0.405	13.2	5.5	
33.8		25.6	865	0.416	13.3	5.5	
平均 35.0		25.5	889	0.445	13.2	4.8	
約 45°		35.6	25.9	923	0.429	13.3	5.7
		38.5	27.3	1050	0.538	13.1	3.5
		31.7	24.4	775	0.401	12.8	6.0
		33.5	27.0	904	0.473	13.0	3.2
		33.0	25.6	845	0.444	13.4	5.0
	30.6	26.7	817	0.471	13.1	3.2	
	34.5	25.1	865	0.421	12.4	5.0	
	36.6	25.1	918	0.450	13.1	4.2	
	36.3	25.7	934	0.466	12.9	3.9	
	36.4	27.5	1000	0.481	13.2	4.2	
	平均 34.7	26.0	903	0.459	13.0	4.4	

第 3 表 の 5

試験材 タルミ 破壊迄の時間 約 120 秒

年輪に 對する 荷重方向	破壊迄の 時間 sec	平均荷重 速度 kg/cm ² /sec	破壊係數 kg/cm ²	密 度 gr/cm ³	含水量 %	1 cm に 對する 年輪數	
平 行	114	6.6	756	0.406	12.7	5.5	
	125	7.6	945	0.472	14.7	4.5	
	120	8.2	988	0.407	14.7	3.5	
	117	6.8	801	0.409	13.1	5.5	
	124	7.7	960	0.487	12.9	4.5	
	125	7.9	990	0.525	13.1	3.5	
	115	7.5	862	0.485	13.1	4.0	
	121	7.2	876	0.432	13.2	6.0	
	126	7.5	940	0.485	13.2	4.0	
	114	7.6	862	0.446	13.4	5.5	
	平均 120	7.5	898	0.455	13.4	5.7	
	直 角	126	8.0	1003	0.487	13.3	4.0
		111	7.8	865	0.498	13.3	4.0
		113	7.1	801	0.415	13.3	7.0
117		7.2	845	0.428	13.2	3.5	
109		8.2	890	0.459	12.9	3.0	
120		7.2	869	0.415	13.2	4.5	
120		7.7	921	0.416	13.1	4.0	
115		7.7	880	0.475	13.3	3.0	
106		8.2	866	0.456	13.0	4.0	
128		7.4	943	0.459	13.1	5.5	
平均 117		7.7	876	0.451	13.2	4.3	
約 45°		126	7.3	919	0.438	12.9	5.3
		121	7.4	901	0.493	12.9	3.2
		123	7.6	937	0.453	13.1	3.2
	117	6.7	788	0.424	13.0	5.3	
	118	6.8	798	0.432	13.1	4.6	
	127	7.2	914	0.452	13.3	3.2	
	119	7.2	856	0.458	13.3	3.5	
	115	7.0	801	0.455	13.5	3.2	
	121	7.7	933	0.482	13.6	3.5	
	120	7.8	931	0.509	13.4	3.9	
	平均 121	7.3	878	0.460	13.2	3.9	

第 3 表 の 6

試験材 タルミ 破壊迄の時間 約 180 秒

年輪に 對する 荷重方向	破壊迄の 時間 sec	平均荷重 速度 kg/cm ² /sec	破壊係數 kg/cm ²	密 度 gr/cm ³	含水量 %	1 cm に 對する 年輪數	
平 行	176	5.4	942	0.508	11.7	3.5	
	178	5.0	887	0.500	13.5	4.0	
	140	4.8	674	0.389	14.0	6.5	
	180	5.0	893	0.463	13.9	4.5	
	175	4.4	774	0.413	14.4	6.5	
	183	5.3	973	0.465	13.1	4.0	
	186	5.2	972	0.510	12.9	4.0	
	163	4.6	743	0.397	13.3	7.0	
	181	4.9	880	0.458	13.1	3.5	
	189	4.5	844	0.436	13.6	5.5	
	平均 175	4.9	858	0.454	13.4	4.9	
	直 角	177	5.1	897	0.490	12.8	3.5
		174	5.3	923	0.464	12.9	3.5
		181	4.4	804	0.402	13.1	6.5
175		4.8	837	0.450	13.4	3.5	
181		5.0	902	0.433	12.9	6.0	
163		4.4	724	0.393	13.1	6.5	
174		5.1	896	0.423	12.8	3.5	
178		4.6	823	0.427	13.2	6.0	
183		4.5	821	0.415	13.3	4.5	
平均 176		4.8	847	0.433	13.1	4.8	
約 45°		168	4.8	804	0.485	13.1	3.5
		177	4.9	866	0.452	13.2	3.5
		180	4.4	791	0.446	13.3	4.2
		178	4.6	816	0.449	13.6	3.2
	178	4.3	774	0.422	11.0	5.0	
	168	4.5	748	0.442	12.7	3.9	
	176	4.2	740	0.432	12.9	3.9	
	177	5.2	922	0.449	12.9	3.5	
	179	4.7	841	0.433	13.1	3.9	
	平均 176	4.6	811	0.446	12.9	3.8	

第 3 表 の 7
試験材クルミ 破壊迄の時間 約 300 秒

年輪に 對する 荷重方向	破壊迄の 時 間 sec	平均荷重 速 度 kg/cm ² /sec	破壊係數 kg/cm ²	密 度 gr/cm ³	含 水 量 %	1 cm に 對する 年輪數	
平 行	290	3.0	862	0.459	12.4	3.0	
	298	2.9	855	0.424	12.7	4.0	
	298	2.9	855	0.439	12.7	3.5	
	302	2.7	810	0.427	12.9	5.0	
	302	2.8	835	0.426	12.9	3.5	
	294	2.8	811	0.462	13.2	3.5	
	294	2.4	720	0.452	13.1	3.5	
	292	2.5	730	0.445	13.3	4.5	
	299	2.8	852	0.456	13.1	3.0	
	298	2.5	740	0.442	13.9	6.5	
	平均 297	2.8	807	0.443	13.0	4.0	
	直 角	302	2.9	861	0.419	12.6	4.0
		291	3.0	871	0.453	12.7	4.0
		291	2.9	840	0.460	13.0	5.0
288		2.8	796	0.437	12.6	4.0	
270		2.7	730	0.430	12.6	4.5	
294		2.7	799	0.421	12.5	4.5	
298		3.0	887	0.435	12.3	4.5	
300		2.9	883	0.477	12.4	3.5	
302		2.8	859	0.445	12.3	4.5	
305		3.0	926	0.503	12.3	3.5	
平均 294		2.9	845	0.448	12.5	4.2	
約 45°		288	2.9	739	0.426	12.3	4.2
		296	2.7	876	0.458	12.3	3.9
		304	2.9	888	0.451	12.1	3.9
	280	2.5	707	0.424	11.8	4.6	
	300	3.0	900	0.469	12.0	4.2	
	286	2.7	784	0.415	12.0	5.3	
	300	3.1	919	0.468	11.9	3.9	
	296	3.0	886	0.491	12.0	4.2	
	294	2.7	804	0.506	12.2	3.5	
	306	2.9	902	0.457	12.3	4.2	
	平均 292	2.8	835	0.457	12.1	4.2	

第 3 表 の 8
試験材クルミ 破壊迄の時間 約 420 秒

年輪に 對する 荷重方向	破壊迄の 時 間 sec	平均荷重 速 度 kg/cm ² /sec	破壊係數 kg/cm ²	密 度 gr/cm ³	含 水 量 %	1 cm に 對する 年輪數	
平 行	415	1.9	796	0.446	12.2	5.5	
	395	1.8	700	0.401	12.3	7.0	
	418	1.8	763	0.418	12.1	7.0	
	413	2.0	828	0.436	12.0	3.5	
	427	2.0	859	0.459	12.1	3.0	
	367	1.7	634	0.438	12.4	3.5	
	423	1.9	812	0.431	12.0	3.5	
	427	2.0	868	0.461	11.9	3.0	
	430	2.0	848	0.433	12.2	3.5	
	419	1.9	808	0.432	11.8	6.0	
	平均 423	1.9	792	0.436	12.1	4.6	
	直 角	423	2.1	873	0.429	13.0	4.0
		427	2.2	952	0.434	13.0	3.5
		426	2.0	871	0.455	12.8	3.5
430		2.0	879	0.421	12.8	5.0	
429		2.3	970	0.426	12.8	3.5	
435		2.1	930	0.458	13.2	3.5	
412		1.8	725	0.415	10.9	7.0	
423		2.1	893	0.426	12.8	3.5	
410		1.7	694	0.403	13.2	7.0	
424		2.2	935	0.427	12.9	3.5	
平均 424		2.1	872	0.429	12.7	4.4	
約 45°		385	1.5	586	0.430	13.0	3.2
		419	1.7	713	0.399	13.4	7.4
		431	2.0	863	0.421	13.1	3.5
	423	2.0	836	0.445	13.1	3.2	
	428	2.0	835	0.420	12.5	3.9	
	416	1.9	801	0.424	13.5	4.6	
	422	2.0	844	0.426	13.1	3.2	
	422	2.0	834	0.462	13.1	3.2	
	403	2.0	813	0.452	13.0	3.2	
	405	1.7	680	0.402	13.2	5.3	
	平均 415	1.9	781	0.428	13.1	4.1	

第 4 表 の 1

試験材 マホガニ 破壊迄の時間 3~4 秒

年輪に 對する 荷重方向	破壊迄の 時間 sec	平均荷重 速度 kg/cm ² /sec	破壊係數 kg/cm ²	密 度 gr/cm ³	含 水 量 %	1 cm に 對する 年輪數	
平 行	3.5	288	1007	0.526	16.9	4.0	
	3.7	281	1050	0.534	16.9	4.5	
	3.8	305	1158	0.530	17.1	4.0	
	3.2	265	847	0.418	15.9	4.0	
	3.1	267	827	0.413	16.5	3.5	
	3.2	259	829	0.418	17.0	3.0	
	2.7	244	658	0.363	18.0	4.0	
	3.3	202	666	0.343	18.2	3.0	
	3.3	183	694	0.376	18.2	3.0	
	3.3	231	761	0.385	18.2	3.0	
	平均	3.4	253	850	0.431	17.3	3.6
	直 角	4.0	283	1132	0.520	15.8	4.3
		3.3	331	1092	0.529	16.0	3.0
		3.3	322	1063	0.538	16.0	3.0
3.5		247	865	0.426	15.6	2.5	
2.9		292	848	0.437	15.8	2.5	
3.3		269	887	0.426	15.6	3.5	
3.7		244	902	0.419	16.0	1.8	
3.3		252	831	0.430	16.5	1.5	
3.5		251	877	0.437	16.5	2.0	
3.2		252	808	0.434	16.1	1.3	
平均		3.4	274	931	0.460	16.0	2.5
約 45°		3.6	297	1070	0.524	15.4	3.9
		3.6	303	1091	0.523	16.9	3.5
		3.6	294	1057	0.522	16.7	3.2
	3.6	310	1116	0.522	16.6	2.8	
	3.2	263	843	0.424	15.2	3.5	
	3.4	258	878	0.423	15.6	3.5	
	3.7	234	865	0.416	15.3	3.9	
	3.3	351	1158	0.524	16.5	3.9	
	3.5	317	1109	0.521	16.6	3.5	
	3.6	304	1093	0.521	16.4	3.5	
	平均	3.5	293	1028	0.492	16.1	3.5

第 4 表 の 2

試験材 マホガニ 破壊迄の時間 10~15 秒

年輪に 對する 荷重方向	破壊迄の 時間 sec	平均荷重 速度 kg/cm ² /sec	破壊係數 kg/cm ²	密 度 gr/cm ³	含 水 量 %	1 cm に 對する 年輪數	
平 行	11.5	94.7	1089	0.524	18.1	5.0	
	11.4	94.2	1074	0.520	18.3	5.0	
	13.5	82.6	1115	0.514	18.2	4.0	
	11.7	73.6	861	0.413	17.1	3.5	
	12.7	66.3	842	0.417	17.0	3.0	
	12.1	69.8	845	0.424	17.0	3.0	
	12.4	74.4	922	0.460	16.8	2.5	
	12.8	69.2	886	0.451	17.7	2.5	
	12.8	53.4	683	0.364	19.7	3.0	
	11.9	52.4	624	0.346	19.7	3.5	
	平均	12.3	73.1	894	0.443	18.0	3.5
	直 角	14.1	82.4	1162	0.533	16.2	3.3
		14.2	80.6	1144	0.531	16.2	3.5
		14.6	75.5	1102	0.519	16.2	3.0
13.0		68.8	894	0.428	16.1	2.5	
13.8		63.6	878	0.430	16.2	2.0	
13.1		66.0	864	0.424	16.0	2.8	
12.6		49.9	628	0.363	20.0	2.0	
14.0		50.0	700	0.377	17.7	3.0	
13.3		59.8	796	0.415	17.7	1.5	
13.4		63.5	851	0.423	17.7	2.0	
平均		13.6	66.0	902	0.444	16.6	2.6
約 45°		10.8	90.5	977	0.528	16.5	3.5
		12.1	91.8	1111	0.508	16.6	3.9
		12.9	87.2	1124	0.507	16.9	4.2
	12.0	69.8	838	0.420	14.8	3.9	
	13.7	62.7	859	0.420	15.3	3.9	
	12.5	66.9	836	0.419	15.5	3.9	
	13.1	65.4	857	0.414	15.2	3.5	
	12.5	68.6	858	0.410	15.7	3.5	
	13.3	65.3	868	0.419	16.3	3.2	
	11.5	84.7	974	0.507	17.0	3.9	
	平均	12.4	75.3	930	0.455	16.0	3.7

第 4 表 の 4

試験材 マホガニ 破壊迄の時間 60~80 秒

年輪に 對する 荷重方向	破壊迄の 時間 sec	平均荷重 速度 kg/cm ² /sec	破壊係數 kg/cm ²	密度 gr/cm ³	含水 量 %	1 cm に 對する 年輪數
平 行	65.9	14.0	922	0.491	16.4	4.5
	70.9	13.4	949	0.498	16.5	4.7
	71.4	14.8	1057	0.515	14.7	4.5
	71.4	11.0	788	0.414	15.9	3.0
	68.1	11.9	813	0.419	16.6	3.3
	71.8	11.5	825	0.423	16.4	2.5
	70.0	11.5	808	0.440	16.4	2.0
	65.1	11.6	755	0.436	16.3	2.0
	70.3	12.5	877	0.452	15.9	1.7
	64.5	9.7	627	0.370	16.8	2.5
平均 68.9	11.2	842	0.447	16.2	3.1	
直 角	62.9	17.1	1077	0.542	15.4	4.5
	70.7	13.9	985	0.509	15.4	3.5
	72.3	13.7	992	0.500	15.1	3.3
	69.0	11.8	814	0.427	14.1	2.7
	69.1	12.3	847	0.422	15.1	2.5
	65.5	12.3	803	0.422	14.9	2.5
	65.0	8.7	565	0.348	18.5	3.5
	63.7	9.6	612	0.350	18.8	2.0
	63.2	9.6	608	0.369	16.2	3.5
	68.3	10.7	730	0.403	16.5	2.0
平均 67.0	12.0	803	0.429	16.0	3.0	
約 45°	55.7	12.7	706	0.520	15.6	3.9
	74.1	13.6	1011	0.526	16.2	4.1
	65.6	12.5	820	0.527	16.2	4.2
	76.6	10.8	827	0.416	15.7	2.8
	70.1	11.1	776	0.407	14.7	3.2
	72.1	14.2	1022	0.488	15.3	3.9
	72.4	13.6	988	0.520	16.1	4.2
	76.6	13.1	1003	0.521	16.1	3.2
	70.1	14.2	994	0.509	16.7	4.1
	75.4	13.9	1046	0.500	16.7	3.9
平均 70.9	13.0	919	0.493	15.9	3.8	

第 4 表 の 3

試験材 マホガニ 破壊迄の時間 30~40 秒

年輪に 對する 荷重方向	破壊迄の 時間 sec	平均荷重 速度 kg/cm ² /sec	破壊係數 kg/cm ²	密度 gr/cm ³	含水 量 %	1 cm に 對する 年輪數
平 行	31.1	30.5	949	0.483	18.6	4.3
	32.1	29.2	938	0.482	18.8	4.5
	34.6	28.6	989	0.493	19.0	5.3
	34.5	22.8	785	0.407	18.2	3.0
	35.7	22.8	814	0.413	18.7	3.0
	35.9	22.2	796	0.427	16.2	3.0
	35.0	21.9	768	0.428	17.0	2.3
	32.3	24.6	794	0.447	17.1	1.8
	33.0	25.9	855	0.454	16.8	2.0
	34.1	25.2	859	0.452	16.2	1.8
平均 33.3	25.4	855	0.449	17.7	3.1	
直 角	35.5	29.8	1057	0.512	16.5	4.5
	33.4	30.4	1016	0.506	16.5	4.3
	34.7	28.3	983	0.512	16.3	4.5
	34.0	23.9	814	0.423	15.8	3.0
	33.3	24.0	800	0.424	15.7	3.0
	32.9	24.8	817	0.419	16.6	2.5
	33.9	20.6	700	0.370	19.8	2.3
	34.5	21.7	749	0.408	17.6	1.8
	34.4	21.8	749	0.427	17.3	2.0
	37.2	22.3	829	0.439	17.0	2.5
平均 34.5	24.8	851	0.444	16.8	3.0	
約 45°	31.3	29.4	919	0.498	16.7	3.2
	33.4	25.9	865	0.509	16.7	3.2
	34.3	29.1	997	0.511	17.2	3.5
	35.3	28.8	1018	0.499	17.5	3.9
	28.0	26.5	743	0.411	17.5	3.7
	36.7	22.3	820	0.406	20.0	3.5
	35.6	23.1	824	0.415	16.5	3.0
	29.8	26.8	799	0.409	16.8	3.9
	34.6	23.0	796	0.405	16.2	3.2
	34.5	27.7	957	0.503	17.1	4.2
平均 33.3	26.3	874	0.457	17.2	3.5	

第 4 表 の 5

試験材 マホガニ 破壊迄の時間 約 120 秒

年輪に対する荷重方向	破壊迄の時間 sec	平均荷重速度 kg/cm ² /sec	破壊係数 kg/cm ²	密度 gr/cm ³	含水量 %	1 cm に対する年輪数	
平行	129	7.7	988	0.495	16.2	3.7	
	125	7.5	932	0.500	16.5	4.0	
	127	7.3	929	0.492	17.6	4.5	
	124	6.2	774	0.410	16.9	3.5	
	127	6.3	799	0.421	16.9	5.5	
	119	6.5	772	0.421	17.0	2.5	
	119	6.2	738	0.415	17.5	2.0	
	119	6.4	767	0.418	17.4	2.3	
	120	7.6	917	0.526	17.1	5.0	
	119	8.7	1032	0.528	17.2	5.0	
	平均 123	7.0	865	0.463	17.0	3.8	
	直角	126	7.9	998	0.510	15.6	4.5
		122	8.3	1011	0.511	15.4	4.7
126		6.6	838	0.429	15.8	2.3	
119		6.7	802	0.430	15.6	3.0	
122		6.5	796	0.420	15.3	2.7	
111		6.8	753	0.448	15.9	1.5	
118		6.6	778	0.451	16.4	1.7	
123		6.3	770	0.454	16.2	2.3	
122		5.0	609	0.357	17.4	3.0	
128		4.6	592	0.346	17.0	3.5	
平均 122		6.5	789	0.435	16.0	2.9	
約 45°		120	8.4	1007	0.504	16.3	4.4
		125	7.8	978	0.503	15.5	4.4
	109	7.6	829	0.505	15.8	3.5	
	122	8.2	1006	0.522	15.9	3.5	
	124	8.8	1088	0.511	16.0	3.7	
	121	7.1	858	0.410	15.1	3.2	
	121	6.4	771	0.415	15.9	2.5	
	114	6.3	718	0.408	15.2	2.8	
	121	6.4	780	0.418	15.4	3.2	
	128	6.1	784	0.409	16.1	2.7	
	平均 121	7.3	882	0.461	15.7	3.4	

第 4 表 の 6

試験材 マホガニ 破壊迄の時間 約 180 秒

年輪に対する荷重方向	破壊迄の時間 sec	平均荷重速度 kg/cm ² /sec	破壊係数 kg/cm ²	密度 gr/cm ³	含水量 %	1 cm に対する年輪数	
平行	186	5.8	1082	0.516	16.5	4.5	
	177	5.6	985	0.513	16.5	5.0	
	176	4.1	727	0.412	15.7	3.3	
	182	4.3	778	0.416	15.8	2.7	
	178	4.7	831	0.424	15.6	2.5	
	178	3.3	594	0.356	16.3	2.0	
	181	3.6	648	0.352	17.1	2.3	
	170	4.2	716	0.410	15.8	1.5	
	178	4.1	728	0.420	16.1	2.0	
	182	4.4	796	0.435	15.4	2.0	
	平均 179	4.4	789	0.425	16.1	2.8	
	直角	182	5.8	1052	0.508	16.6	4.5
		181	5.8	1045	0.497	16.6	4.3
183		4.6	834	0.425	16.6	2.5	
167		4.3	725	0.423	16.6	2.5	
190		4.5	862	0.497	13.8	2.5	
185		4.8	885	0.455	17.1	1.5	
185		4.8	892	0.439	17.0	1.5	
181		4.6	826	0.457	16.7	2.0	
183		3.0	549	0.351	15.4	3.3	
183		2.9	536	0.337	17.6	3.0	
平均 182		4.5	821	0.439	16.4	2.8	
約 45°		187	5.2	976	0.498	15.8	4.2
		187	5.3	985	0.508	15.3	4.2
	184	4.0	721	0.422	15.7	2.5	
	179	5.2	925	0.512	17.3	3.2	
	183	5.1	927	0.498	15.2	3.4	
	186	4.1	757	0.411	15.1	2.5	
	183	4.2	763	0.420	15.2	2.5	
	185	4.3	777	0.426	14.2	2.8	
	188	5.3	999	0.486	15.7	3.9	
	209	4.8	1003	0.476	17.4	3.9	
	平均 187	4.7	883	0.466	15.7	3.3	

第 4 表 の 7

試験材 マホガニ 破壊迄の時間 約 300 秒

年輪に 對する 荷重方向	破壊迄の 時間 sec	平均荷重 速度 kg/cm ² /sec	破壊係數 kg/cm ²	密 度 gr/cm ³	含水 量 %	1 cm に 對する 年輪數	
平 行	294	3.0	878	0.494	16.0	2.0	
	301	3.1	936	0.494	15.9	3.0	
	300	3.2	968	0.503	15.7	3.5	
	302	2.4	734	0.419	15.5	3.0	
	300	2.4	721	0.411	15.4	3.0	
	296	2.5	745	0.414	18.2	2.7	
	301	2.2	651	0.370	16.6	2.0	
	295	2.3	691	0.412	16.5	1.5	
	297	2.4	727	0.423	15.9	1.7	
	平均 299	2.6	783	0.438	16.2	2.5	
	直 角	309	3.3	1028	0.504	16.3	4.5
		306	3.4	1026	0.502	16.5	4.0
		295	2.5	743	0.421	16.6	2.5
303		2.6	797	0.421	16.4	2.7	
302		2.8	831	0.423	16.3	2.5	
300		2.5	754	0.426	16.0	2.0	
302		3.8	845	0.452	16.3	1.5	
295		2.7	798	0.451	15.9	1.7	
296		2.7	800	0.466	16.7	1.5	
300		2.8	942	0.494	16.3	3.5	
平均 301		2.8	856	0.456	16.2	2.6	
約 45°		303	3.4	1025	0.500	15.3	4.2
		305	3.3	1008	0.494	15.5	4.1
	298	3.4	1017	0.515	15.7	3.5	
	298	3.4	1026	0.515	15.6	3.5	
	298	3.3	995	0.499	15.9	3.9	
	300	2.6	793	0.418	15.4	2.8	
	300	2.5	738	0.414	15.9	2.8	
	305	2.8	843	0.432	15.2	3.7	
	296	2.4	706	0.411	15.8	2.5	
	303	2.8	851	0.428	15.3	2.8	
	平均 300	3.0	900	0.463	15.6	3.4	

第 4 表 の 8

試験材 マホガニ 破壊迄の時間 約 420 秒

年輪に 對する 荷重方向	破壊迄の 時間 sec	平均荷重 速度 kg/cm ² /sec	破壊係數 kg/cm ²	密 度 gr/cm ³	含水 量 %	1 cm に 對する 年輪數	
平 行	419	2.1	883	0.497	15.9	3.0	
	418	2.2	939	0.510	16.0	3.3	
	419	2.3	960	0.512	15.7	4.0	
	422	1.8	763	0.410	15.6	2.7	
	421	1.9	813	0.418	15.3	2.7	
	421	2.0	861	0.421	14.9	2.5	
	416	1.8	750	0.413	14.9	2.5	
	419	1.8	735	0.411	14.8	2.5	
	415	1.7	706	0.410	14.9	2.5	
	407	1.7	709	0.419	15.0	2.5	
	平均 418	1.9	812	0.442	15.3	2.8	
	直 角	426	2.3	996	0.483	16.3	4.0
		421	2.1	882	0.495	16.0	3.7
422		2.3	980	0.502	16.3	3.5	
420		2.6	1093	0.510	16.0	3.7	
420		2.4	1003	0.509	15.7	3.5	
415		1.7	716	0.405	17.4	2.7	
417		1.8	741	0.407	15.5	3.0	
418		1.7	710	0.413	15.5	2.5	
433		1.7	825	0.415	15.2	2.5	
416		1.9	772	0.410	17.4	2.5	
平均 421		2.1	872	0.455	16.0	3.2	
約 45°		419	2.3	970	0.505	14.2	4.2
		424	2.3	994	0.507	14.5	3.9
	414	2.4	983	0.504	14.7	3.5	
	416	2.3	940	0.510	14.7	3.5	
	420	2.4	1012	0.480	14.9	3.5	
	415	2.3	957	0.502	15.3	3.5	
	415	1.8	751	0.430	14.8	3.9	
	420	1.8	742	0.408	15.2	2.8	
	415	1.9	794	0.425	14.9	3.2	
	418	1.8	769	0.416	14.7	3.9	
	平均 417	2.1	891	0.469	14.8	3.6	

第 5 表 の 1

試験材 アツシユ 破壊迄の時間 3~4 秒

年輪に 對する 荷重方向	破壊迄の 時 sec	平均荷重 速度 kg/cm ² /sec	破壊係數 kg/cm ²	密 度 gr/cm ³	含水量 %	1 cm なる 對する 年輪數
平 行	3.1	331	1027	0.584	14.4	4.5
	3.7	301	1115	0.612	15.3	4.0
	4.0	289	1155	0.613	15.4	4.0
	3.5	358	1253	0.645	15.7	4.5
	3.4	325	1103	0.589	15.0	4.5
	3.6	300	1078	0.570	14.6	5.0
	3.2	380	1215	0.618	15.9	5.0
	4.0	347	1387	0.652	15.8	5.5
	3.5	340	1188	0.603	15.7	5.5
	3.9	326	1271	0.642	15.7	5.5
平均	3.6	330	1179	0.613	15.4	4.8
直 角	3.4	308	1048	0.585	15.1	4.0
	3.7	305	1128	0.609	16.0	4.0
	3.8	328	1247	0.655	15.7	4.5
	3.6	298	1072	0.596	15.6	5.0
	2.7	340	918	0.611	16.0	6.0
	3.3	304	1003	0.609	15.6	4.5
	3.7	348	1291	0.942	16.0	6.5
	3.2	316	1017	0.564	15.8	5.5
	3.8	316	1200	0.639	15.8	4.5
	3.7	309	1142	0.618	15.9	5.5
平均	3.5	317	1107	0.613	15.8	5.0
約 45°	3.2	316	1012	0.584	14.1	3.9
	3.7	346	1280	0.656	14.6	3.9
	3.7	289	1068	0.580	14.5	4.2
	3.5	327	1144	0.630	14.6	4.6
	3.5	386	1350	0.649	15.6	5.0
	3.6	341	1227	0.646	15.3	5.3
	3.2	370	1183	0.625	15.2	6.0
	3.5	367	1284	0.634	17.0	5.0
	3.8	310	1178	0.640	15.5	6.0
	4.2	337	1413	0.670	14.8	4.6
平均	3.7	339	1214	0.631	15.1	4.9

第 5 表 の 2

試験材 アツシユ 破壊迄の時間 10~15 秒

年輪に 對する 荷重方向	破壊迄の 時 sec	平均荷重 速度 kg/cm ² /sec	破壊係數 kg/cm ²	密 度 gr/cm ³	含水量 %	1 cm なる 對する 年輪數
平 行	12.1	109.0	1318	0.658	14.9	5.5
	13.7	94.0	1288	0.639	15.1	5.0
	13.8	94.8	1308	0.655	15.3	6.0
	13.1	78.7	1032	0.601	15.1	4.5
	14.9	86.1	1283	0.646	15.2	5.0
	12.7	86.5	1098	0.605	15.2	5.0
	15.1	85.3	1288	0.657	15.5	5.5
	15.7	89.4	1404	0.692	15.8	6.0
	14.2	79.7	1132	0.615	15.1	5.0
	14.9	91.2	1360	0.669	15.6	5.5
平均	14.0	89.5	1251	0.644	15.3	5.3
直 角	10.1	95.0	960	0.587	15.6	4.5
	13.0	97.7	1270	0.635	15.8	5.0
	11.9	90.1	1072	0.631	16.1	6.0
	12.0	81.6	980	0.579	15.7	4.5
	13.3	95.8	1274	0.670	16.0	5.5
	13.7	102.5	1403	0.703	15.5	6.0
	13.2	95.9	1266	0.668	15.5	5.0
	12.1	94.8	1147	0.665	15.6	4.5
	14.3	75.5	1080	0.673	15.7	5.0
	12.9	96.0	1238	0.680	15.5	4.5
平均	12.6	92.5	1164	0.649	15.7	5.1
約 45°	14.0	100.7	1410	0.682	15.2	5.3
	11.4	100.5	1145	0.620	15.1	5.0
	12.7	105.2	1337	0.676	15.1	5.3
	10.9	94.3	1028	0.595	14.5	4.2
	10.9	91.6	998	0.592	14.2	4.2
	11.0	92.7	1020	0.610	15.1	3.9
	12.0	90.8	1089	0.624	15.0	5.0
	10.5	98.7	1036	0.603	14.8	4.2
	11.7	104.3	1220	0.634	14.9	4.6
	10.1	107.8	1089	0.632	14.4	5.0
平均	11.5	98.7	1137	0.627	14.8	4.7

第 5 表 の 3

試験材 アツシユ 破壊迄の時間 30~40 秒

年輪に對する荷重方向	破壊迄の時間 sec	平均荷重速度 kg/cm ² /sec	破壊係數 kg/cm ²	密度 gr/cm ³	含水量 %	1 cm に對する年輪數	
平 行	31.5	34.1	1073	0.600	15.7	4.0	
	36.1	31.5	1138	0.608	16.0	5.0	
	37.8	31.5	1192	0.609	16.0	6.5	
	35.2	30.2	1064	0.592	15.6	3.5	
	36.5	32.2	1174	0.614	15.4	5.0	
	32.0	31.8	1018	0.575	15.6	5.0	
	36.7	33.6	1232	0.616	15.8	5.0	
	34.9	33.5	1379	0.606	15.7	6.0	
	33.7	34.3	1155	0.595	16.9	5.0	
	35.5	34.3	1217	0.638	15.4	5.5	
	平均 35.1	33.3	1164	0.605	15.8	5.1	
	直 角	27.9	34.4	959	0.594	15.9	4.0
		35.9	32.3	1158	0.610	16.0	5.0
		36.0	30.0	1078	0.580	16.1	7.0
30.0		31.2	936	0.584	15.9	4.0	
37.4		33.3	1247	0.626	15.7	5.0	
31.2		32.0	997	0.586	15.6	4.5	
34.0		38.1	1295	0.654	16.1	7.5	
32.6		31.5	1028	0.609	15.7	4.0	
36.6		35.0	1282	0.652	15.8	5.0	
35.9		35.9	1288	0.671	15.5	5.0	
平均 33.8		33.4	1129	0.617	15.8	5.1	
約 45°		34.7	33.6	1167	0.632	15.1	5.0
		36.3	31.3	1137	0.624	15.2	4.6
		40.6	31.7	1288	0.655	15.6	5.3
	36.4	30.9	1125	0.619	15.4	4.2	
	37.0	31.5	1165	0.610	13.9	6.0	
	31.1	33.3	1035	0.594	14.8	4.2	
	41.6	33.4	1388	0.702	16.1	5.7	
	36.2	31.3	1136	0.629	15.5	4.6	
	36.1	35.8	1292	0.666	15.3	5.0	
	41.1	35.4	1455	0.702	15.5	5.3	
	平均 37.1	32.8	1219	0.643	15.2	5.0	

第 5 表 の 4

試験材 アツシユ 破壊迄の時間 60~80 秒

年輪に對する荷重方向	破壊迄の時間 sec	平均荷重速度 kg/cm ² /sec	破壊係數 kg/cm ²	密度 gr/cm ³	含水量 %	1 cm に對する年輪數	
平 行	73.7	20.5	1507	0.700	15.4	5.0	
	60.3	14.8	893	0.584	15.4	4.0	
	66.8	15.6	1038	0.608	15.8	5.0	
	66.0	16.0	1053	0.618	16.1	6.0	
	67.2	15.3	1027	0.580	15.3	4.5	
	78.6	15.4	1213	0.628	15.3	5.0	
	73.2	17.8	1302	0.658	15.8	5.0	
	64.9	14.5	942	0.610	15.6	4.5	
	66.6	19.5	1298	0.634	15.8	5.5	
	68.9	15.2	1048	0.604	16.5	4.5	
	平均 68.6	16.5	1132	0.612	15.7	4.9	
	直 角	65.2	14.8	967	0.582	15.4	4.0
		66.1	16.7	1085	0.615	15.5	4.5
		65.7	17.6	1156	0.624	15.8	5.5
69.2		14.4	997	0.579	15.4	4.0	
70.7		16.0	1132	0.596	18.2	4.5	
68.3		17.7	1207	0.633	15.6	4.5	
71.4		16.5	1174	0.662	15.9	5.0	
64.6		17.0	1094	0.641	15.7	5.0	
68.0		16.3	1105	0.659	15.8	4.0	
71.0		17.0	1210	0.679	14.3	5.5	
平均 68.0		16.4	1113	0.627	15.8	4.7	
約 45°		73.8	18.4	1358	0.671	15.0	3.9
		70.7	18.2	1287	0.671	15.2	5.3
		76.4	17.9	1369	0.694	15.5	5.3
	73.8	17.9	1300	0.658	15.7	4.6	
	70.3	19.6	1378	0.668	15.4	5.7	
	74.5	18.9	1410	0.724	15.3	3.5	
	59.1	16.6	981	0.598	15.2	3.2	
	66.3	15.6	1037	0.616	15.4	3.2	
	69.0	14.8	1022	0.642	15.4	3.9	
	75.9	15.0	1137	0.616	15.3	3.5	
	平均 70.9	17.3	1228	0.656	15.3	4.2	

第 5 表 の 5

試験材 アツシニ 破壊迄の時間 約 120 秒

年輪に 對する 荷重方向	破壊迄の 時間 sec	平均荷重 速度 kg/cm ² /sec	破壊係數 kg/cm ²	密 度 gr/cm ³	含水量 %	1 cm に 對する 年輪數	
平 行	113	8.5	961	0.590	14.7	4.0	
	117	9.0	1053	0.619	15.0	4.0	
	120	10.3	1233	0.650	15.1	4.5	
	125	8.3	1035	0.596	15.0	4.0	
	121	9.2	1112	0.628	15.0	3.5	
	126	9.4	1182	0.643	14.8	3.5	
	124	8.8	1087	0.614	15.1	4.0	
	117	8.9	1043	0.630	15.2	4.5	
	117	8.6	1003	0.599	15.1	4.5	
	122	8.8	1073	0.620	14.9	5.5	
	平均	120	9.0	1078	0.619	15.0	4.2
	直 角	113	8.3	986	0.584	14.5	4.0
119		9.4	1114	0.620	15.0	4.0	
117		9.8	1148	0.657	15.3	5.5	
118		10.3	1221	0.662	15.4	4.0	
122		10.4	1263	0.670	15.0	5.0	
120		10.5	1255	0.672	14.7	4.5	
124		10.9	1356	0.664	15.2	5.0	
124		10.8	1335	0.692	15.0	5.5	
120		8.3	991	0.591	14.5	3.5	
114		9.3	1057	0.614	13.1	4.0	
平均		119	9.8	1168	0.643	14.8	4.5
約 45°		115	10.6	1222	0.651	14.2	5.0
	120	8.4	1013	0.596	14.3	4.6	
	114	10.2	1163	0.629	14.4	4.6	
	122	8.4	1026	0.581	14.3	4.6	
	116	9.3	1074	0.595	15.5	4.2	
	113	9.5	1077	0.667	14.4	4.6	
	103	8.8	909	0.592	15.0	3.5	
	115	8.7	997	0.601	14.8	3.5	
	118	9.1	1081	0.615	14.8	4.2	
	123	8.2	1010	0.590	14.3	3.5	
	平均	116	9.1	1057	0.612	14.7	4.2

第 5 表 の 6

試験材 アツシニ 破壊迄の時間 約 180 秒

年輪に 對する 荷重方向	破壊迄の 時間 sec	平均荷重 速度 kg/cm ² /sec	破壊係數 kg/cm ²	密 度 kg/cm ³	含水量 %	1 cm に 對する 年輪數	
平 行	184	6.8	1249	0.651	15.4	4.0	
	179	5.2	955	0.585	15.5	4.0	
	180	5.8	1038	0.617	15.4	3.5	
	186	6.5	1215	0.650	15.4	3.5	
	180	6.5	1168	0.607	15.2	6.5	
	179	6.1	1086	0.603	15.4	4.0	
	176	5.6	994	0.596	15.0	4.5	
	182	7.2	1308	0.633	15.3	4.5	
	182	6.6	1204	0.667	15.4	4.0	
	182	6.6	1204	0.626	15.2	6.5	
	平均	181	6.3	1141	0.624	15.3	4.5
	直 角	181	5.4	972	0.607	14.9	3.5
166		5.3	872	0.589	15.2	4.0	
183		6.0	1098	0.632	15.4	3.5	
181		6.3	1148	0.654	15.7	3.5	
177		6.5	1142	0.624	15.1	5.0	
182		5.9	1078	0.633	15.1	4.5	
178		6.8	1202	0.650	15.5	5.0	
183		6.7	1231	0.651	15.4	4.0	
181		5.4	983	0.651	15.5	6.0	
175		6.7	1171	0.659	15.1	5.5	
平均		179	6.1	1090	0.635	15.3	4.5
約 45°		180	5.9	1062	0.616	14.4	3.5
	180	6.2	1115	0.630	15.0	4.2	
	178	6.1	1091	0.624	15.2	5.3	
	174	6.1	1053	0.609	15.2	6.4	
	179	5.6	1010	0.639	14.7	3.5	
	184	6.2	1138	0.694	14.4	3.9	
	177	5.3	931	0.600	14.8	3.2	
	184	5.9	1083	0.598	15.2	7.1	
	186	5.9	1097	0.607	14.9	3.5	
	185	6.5	1198	0.634	14.8	4.2	
	平均	181	6.0	1078	0.625	14.9	4.5

第 5 表 の 7
試験材 アツシユ
破壊迄の時間 約 300 秒

年輪に対する荷重方向	破壊迄の時間 sec	平均荷重速度 kg/cm ² /sec	破壊係数 kg/cm ²	密度 kg/cm ³	含水量 %	1 cm に対する年輪数	
平 行	296	3.2	988	0.589	15.2	3.5	
	310	3.5	1075	0.605	15.5	4.5	
	314	3.2	1007	0.589	15.3	4.0	
	313	3.5	1098	0.580	15.3	4.5	
	302	4.0	1214	0.631	15.4	4.5	
	300	3.4	1023	0.585	15.2	4.5	
	302	4.1	1224	0.638	15.6	4.5	
	307	4.3	1327	0.668	15.6	4.0	
	300	3.6	1070	0.600	15.2	4.5	
	292	3.8	1097	0.618	15.3	4.0	
	平均 303	3.7	1107	0.610	15.4	4.3	
	直 角	300	3.4	1010	0.584	14.7	4.0
		297	3.6	1118	0.612	15.2	4.5
		302	3.5	1032	0.653	15.3	4.0
302		3.4	1018	0.583	15.0	4.0	
300		3.3	980	0.582	14.6	4.0	
308		4.3	1332	0.651	15.0	4.5	
282		3.6	1028	0.622	15.0	4.5	
308		4.0	1235	0.668	15.3	4.5	
306		4.6	1420	0.670	15.4	5.0	
297		3.9	1168	0.656	15.0	5.0	
平均 300		3.8	1134	0.627	15.1	4.4	
約 45°		306	3.5	1056	0.592	15.7	4.2
		300	4.0	1192	0.634	15.2	4.2
		299	4.5	1355	0.673	16.4	4.2
	305	4.1	1263	0.650	15.5	4.6	
	307	3.8	1180	0.610	14.9	4.2	
	313	4.7	1455	0.692	15.1	5.3	
	303	4.1	1241	0.665	15.4	5.3	
	294	3.3	971	0.620	15.1	3.5	
	294	3.3	969	0.624	15.1	3.9	
	273	3.1	857	0.598	14.7	3.5	
	平均 299	3.8	1154	0.636	15.2	4.3	

第 5 表 の 8
試験材 アツシユ
破壊迄の時間 約 420 秒

年輪に対する荷重方向	破壊迄の時間 sec	平均荷重速度 kg/cm ² /sec	破壊係数 kg/cm ²	密度 gr/cm ³	含水量 %	1 cm に対する年輪数	
平 行	421	2.4	990	0.590	14.8	4.0	
	416	2.8	1155	0.628	15.6	3.5	
	412	2.7	1129	0.651	15.8	3.5	
	408	2.7	1110	0.648	15.8	5.0	
	426	2.3	980	0.586	16.6	4.0	
	425	2.6	1099	0.630	15.3	4.0	
	421	3.0	1257	0.667	15.6	3.5	
	416	2.5	1022	0.596	15.5	4.0	
	426	3.2	1108	0.605	15.5	4.0	
	424	3.2	1350	0.678	15.8	4.0	
	平均 419	2.7	1120	0.628	15.6	4.0	
	直 角	430	2.3	1003	0.594	14.8	4.0
		423	2.5	1062	0.629	15.3	3.5
		432	2.6	1141	0.659	15.6	3.5
421		3.0	1248	0.655	15.6	4.5	
422		3.1	1312	0.664	15.2	5.0	
420		3.0	1271	0.667	15.3	4.5	
413		2.7	1109	0.626	15.6	4.5	
421		2.9	1223	0.660	14.1	4.0	
420		2.7	1125	0.632	15.5	3.5	
427		2.6	1128	0.632	16.5	3.5	
平均 423		2.7	1162	0.642	15.4	4.1	
約 45°		416	2.4	985	0.631	15.6	3.5
		412	2.7	1095	0.659	15.5	3.5
		425	2.7	1132	0.637	15.7	4.2
	418	3.0	1247	0.667	15.5	3.5	
	420	3.1	1288	0.652	15.4	4.2	
	431	2.5	1085	0.597	14.8	4.2	
	419	2.9	1207	0.651	15.5	4.6	
	416	2.9	1197	0.646	15.6	4.6	
	417	2.9	1192	0.636	15.8	6.0	
	423	2.4	1012	0.588	15.6	3.9	
	平均 420	2.9	1144	0.636	15.5	4.2	

第 7 表 の 1

破壊迄の 豫定時間 sec	樹 種	破壊迄の時間 sec		時 間 開 き sec	強 さ の 開 き kg/cm ²	
		最 大	最 小			
3~4	ヒノキ	3.9	2.2	1.7	5.1	
10~15		15.6	9.5	6.1	7.3	
30~40		41.3	27.4	13.9	5.3	
60~80		79.5	59.7	19.8	3.5	
約120		135	105	30	3.6	
≧ 180		187	160	27	1.2	
≧ 300		306	289	17	0.3	
≧ 420		432	386	46	0.9	
3~4		スプルース	4.4	2.8	1.6	9.8
10~15			15.8	12.4	3.4	7.5
30~40	39.5		32.1	7.4	5.0	
60~80	75.6		54.9	20.7	6.1	
約120	130		109	21	3.2	
≧ 180	196		161	35	4.0	
≧ 300	310		271	39	2.8	
≧ 420	429		389	40	1.8	
3~4	クルミ		4.2	2.6	1.6	16.1
10~15			14.6	9.7	4.9	15.0
30~40		38.5	30.6	7.9	7.8	
60~80		75.6	58.3	17.3	8.0	
約120		128	106	22	5.1	
≧ 180		189	140	49	7.5	
≧ 300		306	258	48	3.4	
≧ 420		435	367	68	2.8	

第 6 表

樹 種	破壊迄の 平均時間 sec		樹 種	破壊迄の 平均時間 sec		平均破壊 係 数 kg/cm ²	平均破壊 係 数 kg/cm ²	平均荷重 の 均 度 kg/cm ² /sec	平均荷重 の 均 度 kg/cm ² /sec	平均破壊 係 数 kg/cm ²	
	平均時間 sec	平均時間 sec		平均時間 sec	平均時間 sec						
ヒノキ	3.4	3.4	マホガニ	3.4	3.4	760	936	273	273	936	
	13.0	12.8		12.8	12.8	755	909	71.5	71.5	909	
	34.2	33.9		33.9	33.9	735	860	25.5	25.5	860	
	69.6	68.9		68.9	68.9	725	855	13.1	13.1	855	
	122	122		122	122	709	845	6.9	6.9	845	
	180	183		183	183	722	831	4.5	4.5	831	
	299	300		300	300	724	846	2.8	2.8	846	
	419	419		419	419	700	858	2.0	2.0	858	
	3.6	3.6		アツシユ	3.6	3.6	587	1167	329	329	1167
	13.8	12.7			12.7	12.7	591	1184	93.6	93.6	1184
35.4	35.3	35.3	35.3		573	1171	33.2	33.2	1171		
69.1	69.2	69.2	69.2		574	1158	16.7	16.7	1158		
120	118	118	118		544	1101	9.3	9.3	1101		
174	180	180	180		540	1103	6.1	6.1	1103		
294	301	301	301		531	1132	3.8	3.8	1132		
414	421	421	421		512	1142	2.8	2.8	1142		
3.6	3.6	クルミ	3.6		3.6	977		278	278		
12.4	12.4		12.4		12.4	909		73.4	73.4		
34.6	34.6		34.6	34.6	877		25.4	25.4			
69.1	69.1		69.1	69.1	860		12.4	12.4			
119	119		119	119	884		7.5	7.5			
176	176		176	176	839		4.8	4.8			
294	294		294	294	829		2.8	2.8			
421	421		421	421	815		2.0	2.0			

第 7 表 の 2

破壊迄の 豫定時間 sec	樹 種	破壊迄の時間 sec		時 間 の 開 き sec	強 さ の 開 き kg/cm ²
		最 大	最 小		
3~4	マホガニ	4.0	2.7	1.3	11.2
10~15		14.6	10.8	3.8	9.1
30~40		37.2	28.0	9.2	8.6
60~80		76.6	55.7	20.9	7.8
約 120		129	109	20	2.0
≦ 180		209	167	42	1.3
≦ 300		309	294	15	0.3
≦ 420		433	407	26	0.1
3~4	アツシユ	4.2	2.7	1.5	9.2
10~15		15.7	10.1	5.6	7.9
30~40		41.1	27.9	13.2	7.4
60~80		78.6	59.1	19.5	4.9
約 120		126	103	23	2.1
≦ 180		183	166	20	1.0
≦ 300		314	273	41	0.7
≦ 420		432	408	24	0.3

